ОРДЕНА ЛЕНИНА ИНСТИТУТ ПРИКЛАДНОЙ МАТЕМАТИКИ

АКАДЕМИИ НАУК СССР

Л.М. Дегтярев А.А. Самарский A.П. Фаворский

численное решение внутренних стационарных задач электродинамики № 2

Москва 1969г.

Аннотация

В работе рассмотрены вопросы, связанные с численным решением некоторых внутренних стационарных задач электродинамики. Приведена монотонная разностная схема второго порядка точности с положительным оператором для решения смещанной краевой задачи. Допускается наличие "косой" производной на определенных участках границы. Для решения стационарной разностной задачи использовано несколько итерационных процессов, основанных на методе переменных направлений. Проведено сравнение различных алгоритмов. Описаны примеры решения конкретных задач.

§ I. Введение

В работе рассматриваются двумерные отационарные задачи электродинамики сплошной проводящей среды в ограниченном объеме. Такие задачи возникают, например, при изучении течений неожимае— мых и ожимаемых жидкостей в магнитогидродинамических каналах, при иоследовании поведения неравновенной плазмы в оильных магнитных полях, и др.

- п.І.І. Основой физической постановки такого рода задач олужат макроскопические уравнения Максвелла и закон Ома [1] "которые будут использоваться при следующих предположениях.
- I. Процесс носит достаточно медленный характер, так что токами омещения $\frac{1}{C} \frac{\partial E}{\partial t}$ можно пренебречь.
- 2. Магнитное число Рейнольдса мало $\Re e_m << 1$. Это допущение позволяет в дальнейшем очитать магнитное поле постоянным и заданным извне.

Пространственное распределение проводимости 6, параметра Холла β и скорости ореди \overrightarrow{U} в настоящей рассте считается известным и заданным. Отметим, что уже в такой постановке решение задач электродинамики в ряде одучаев представляет оамостоятельный интерео. В общем случае эти величини оами находятся в результате решения других уравнений, например, магнитной газодинамики, закона сохранения энергии электронов и т.д.

н. І.2. Математическое описание рассматриваемых задач основано на введении вектор-потенциала $\overrightarrow{\psi}$ плотнооти электрического тока (обоущаются также и другие подходы). Функция ψ находится из решения краевой задачи для эллиптического положительного оператора второго порядка. Отметим некоторые особенности этой задачи.

Во-первых, ноэффициенты уравнения могут оказаться сильноменяющимиоя функциями проотранотвенных переменных.

Во-вторых, характерным также является смешанный тип краевой задачи, причем на части границы задается "косая" производная от мокомой функции. Наконец существенно то обстоятельство, что в общем олучае $\beta \neq 0$ краевая задача не является самосоприженной.

п. 1.3. Перечислим содержание работы. В § 2 рассмотрена математическая постановка задачи и отмечены некоторые свойства дифференциального оператора. § 3 посвящен разностной краевой задаче. Показана сходимость решения разностной задачи к решению дифференциальной. В § 4 сопоставлено несколько итерационных процессов решения разностной задачи. Наконец, в § 5 описаны характерные примеры расчетов.

§ 2. Дифференциальные уравнения и краевые уоловия

Рассматривается задача о нахождении стационарного распределения плотности электрического тока п напряженности электрического поля п в ограниченной области проотранства, заполненной электропроводной средой, движущейся в магнитном поле
Отметим, однако, что рассматриваемые постановка, уравнения и краевые условия могут оказаться характерными и для других физических
задач.

п.2.1. Всюду в дальнейшем полагается, что токи смещения и инпушированние магнитние поля пренебрежимо малы, а электропроводная среда квазинейтральна. При этих предположениях уравнения Максвелла [1] , лежащие в основе макроскопической электродинамики, выражают собой потенциальность электрического поля

$$rot \vec{E} = 0 \tag{2.1}$$

и закон сохранения электрического заряда

$$div \vec{J} = 0 \qquad (2.2)$$

 $div \vec{J} = 0$ (2.2) \vec{I} , \vec{E} и \vec{H} дается обобщенным законом Связь между векторами Ома [2], который в наотоящей работе используется в следующей форме

$$\vec{J} + \vec{J} \times \vec{\Omega} = \delta (\vec{E} + \vec{V} \times \vec{H}), \vec{\Omega} = \beta \frac{\vec{H}}{\vec{H}\vec{I}}$$
 (2.3)

Значения компонент скорости V и напряженности магнитного поля 🕂 считаем известными. Скорость 🗸 либо задана, либо найдена из решения других уравнений (например, гидродинамики), которые в данной работе не рассматриваются. Распределение окалярной электропроводности 6 и параметра Холла β (а, следовательно, и $\overline{\Sigma}$) по пространству также будем считать известным.

В дальнейшем будем предполагать, что векторы лежат в одной плоскости координат (\propto , y), то есть $\vec{V} = \vec{V}(\vec{V}_{\times}, \vec{V}_{\times}, 0)$ $\vec{J} = \vec{J}(\vec{J}_{\times}, \vec{J}_{y}, 0)$; $\vec{E} = \vec{E}(\vec{E}_{\times}, \vec{E}_{y}, 0)$. Магнитное поле \vec{H} и вектор 🤦 направлены перпендикулярно этой плоскости, то есть отличны от нуля только их 🙎 -компоненты. Эти компоненты будут обезначаться буквами Н и Q соответственно. Предполагается также, что функции $j_x, j_y, E_x, E_y, V_x, V_y, H, \Omega$, 6 зависят только от x и y . В этом случае уравнения (2.1), (2.2) и

закон Ома (2.3) в декартовой системе координат имеют вид

$$\frac{\partial E_{x}}{\partial y} - \frac{\partial E_{y}}{\partial x} = 0 \qquad (2.4)$$

$$\frac{\partial J_{x}}{\partial x} + \frac{\partial J_{y}}{\partial y} = 0 \qquad (2.5)$$

$$j_x + j_y \cdot \Omega = 6(E_x + V_y \cdot H) \qquad (2.6)$$

$$Jy - Jx \cdot \Omega = 6 (E_y - V_x \cdot H) \qquad (2.7)$$

п.2.2. Для построения однозначного решения уравнений (2.4)— (2.7) в конечной области G на ее границе должны быть поставлены надлежащие граничные условия. Будем считать, что граница Γ области G разбита на конечное число участков Γ_k и разделяющих их χ_k ($\Gamma = \sum_k (\Gamma_k + \chi_k)$, на которых заданы краевые условия различного типа (см. фиг. I). В настоящей работе будут рассмотрены следующие краевые условия.

 $j_n = g(S)$ (2.8) Условимся в дальнейшей, что условие (2.8) задано на участках границы f . Случай $g(S) \equiv O$ соответствует идеальному дилектрику, а $g(S) \neq O$ идеально секционированному электроду.

2. Другим распространенным типом граничного условия является требование непрерывности касательной соотавляющей электрического поля на границе раздела двух сред. Так вдоль сплошного идеально проводящего электрода очевидно

$$\mathsf{E}_{\tau} = \mathsf{O} \tag{2.9}$$

Будем считать, что это условие задано на участках границы .
При наличии на границе области G участков Ук , задачу необходимо доспределить интегральными условиями

$$\int_{\mathcal{X}_k} \int_{\mathcal{X}_k} ds = \int_{\mathcal{X}_k} (2.10)$$

nin

$$\int E_{\tau} ds = \bigcup_{k} \qquad (2.11)$$

где полный ток через электроды \mathcal{J}_k (или разность потенциалов между ними \mathcal{U}_k) заданы. При этом, вследствие (2.4) и (2.5) должно выполняться

$$\sum_{k'} \int_{F_{k'}} g(s) ds + \sum_{k} J_{k} = 0$$
 (2.12)

или

$$\sum_{k} U_{k} = 0 \tag{2.13}$$

В дальнейшем рассматривается прямоугольная область АВСД (фиг.2). Граница области — идеально дивлектриче кие стенки $\Gamma_{\rm I}$ и $\Gamma_{\rm 2}$, исключая пару электродов αb и cd , которые либо идеально сенционированные, либо — идеально проводящие. В последнем случае участки границы αb и cd обозначим λ , и $\lambda_{\rm 2}$.

Вели электродов нет или они идеально секционированы, то граница ABC % состоит из одного участка $\Gamma_{\mathbf{I}}$.

н. 2.3. Вместо системы уравнений (2.4)-(2.7) можно рассматривать систему двух уравнений для \int_X и \int_X и сключив из (2.4) E_X и E_Y о помощью (2.6) и (2.7).

$$\frac{\partial \dot{x}}{\partial x} + \frac{\partial \dot{y}}{\partial y} = 0$$

$$\frac{\partial}{\partial y} \left(\frac{\dot{J}_x + \Omega \dot{J}_y}{\delta} \right) - \frac{\partial}{\partial y} \left(\frac{\dot{J}_y - \Omega \dot{J}_x}{\delta} \right) = -f$$

$$f = \frac{\partial}{\partial x} \left(V_x H \right) + \frac{\partial}{\partial y} \left(V_y H \right)$$
(2.14)

Краевыми условиями для (2.14) являются равенства (2.8) и (2.9), которое в переменных \int_{x}^{x} и \int_{y}^{y} переходит в $-j_{T}+\Omega j_{n}=6 V_{n}$ H (2.15)

Краевая задача замыкается одним из интегральных условий (2.10)

или (2.II), в котором E_r выражено через \int_r и \int_n

$$E_r = (-j_r + \Omega j_n)/6 - V_n \cdot H$$
 (2.16)

Аналогичным образом исключая \int_{x}^{y} и \int_{y}^{y} из (2.5) приходим к сиотеме уравнений для E_{x} и E_{y}^{y}

$$\frac{\partial E_{x}}{\partial y} - \frac{\partial E_{y}}{\partial x} = 0$$

$$\frac{\partial}{\partial x} \left[\frac{\partial}{\partial y} (E_{x} - \Omega E_{y}) \right] + \frac{\partial}{\partial y} \left[\frac{\partial}{\partial y} (E_{y} + \Omega E_{x}) \right] = f$$

$$f = + \frac{\partial}{\partial x} \left[\frac{\partial H}{\partial y} (\Omega V_{x} + V_{y}) \right] + \frac{\partial}{\partial y} \left[\frac{\partial H}{\partial y} (-V_{x} + \Omega V_{y}) \right]$$

$$(2.17)$$

Краевыми условиями для (2.17) снова являются (2.9) и (2.8), преобразованное к виду

$$\frac{\partial}{1+\Omega^2} \left[(-E_T + V_n H) \Omega + E_n + V_T H \right] = g(S) \qquad (2.18)$$
В замыкающих интегральных условиях вместо $\int_{\mathbf{n}}$ следует под-

$$\int_{n} = \frac{6}{1+\Omega^2} \left[(-E_\tau + V_n H) \Omega + E_n + V_\tau H \right] \qquad (2.19)$$

п.2.4. При G = const и $\Omega = const$ системы уравнений (2.14) и (2.17) можно привести к разделенному виду, то есть к независимым уравнениям для каждой неизвестной функции $\int_X \int_Y E_x$, E_y . Пусть $G = \Omega = H = 1$ и $V_x = V_y = 0$, тогда (2.14) преобразуется к

$$\Delta j_{\times} = 0 \tag{2.20}$$

$$\Delta Jy = 0 \tag{2.21}$$

а (2.17) к

$$\Delta E_{x} = 0 \qquad (2.22)$$

$$\Delta E_{y=0} \qquad (2.23)$$

Несмотря на то, что каждое из этих уравнений содержит только одну неизвестную функцию, решить их незавиоимо друг от друга можно не всегда, так как входящие в них функции, вообще говоря, связаны граничными условиями. Например, для системы уравнений (2.20), (2.21) краевым условием на сплошных идеальных электродах является

$$j_x + \Omega j_y = 0 \qquad (2.24)$$

Уравнения (2.20) и (2.2%) для компонент плотности электрическото тока \int_{X} , \int_{Y} и уравнения (2.22) и (2.23) для компонент электрического поля будут полностью независимыми при отсутствии эффекта Холла. Одним из примеров может служить задача о протекании электрического тока между электродами без учета эффекта Холла, то есть при $\Omega = 0$.

В самом деле распределение j_{\times} в АВСД описывается уравнением (2.20). Поставим для него граничные условия. Участки АД и ВС характеризуются "непротеканием" тока: $j_{\times} = 0$. Это не требование на δd , ϵC , $\delta \alpha$ и δB дает: $\delta j_{\times}/\delta y = 0$. На электродах δd

и bc , которые для определенности считаем идеально секционированными, задается $j_y = g(x)$, следовательно $\partial x/\partial y = g'(x)$ Таким образом, сформулирована следующая краевая задача

$$\Delta j_x = 0$$

 $j_x = 0$, на AD_uBC ; $\frac{\partial j_x}{\partial y} = 0$ на Aa , bB , cC , dD (2.25)
 $\frac{\partial j_x}{\partial y} = g'(x)$ на ab и cd

Аналогичным соразом можно поставить краевые условия для уравнений (2.21); (2.22) и (2.23). Приведем пример задачи для системы уравнений (2.20), (2.21), решения которых связаны через граничные условия. Снова обратимся к рассмотренной выше задаче и положим $\Omega = 1$, а электроды αb и $c\alpha'$ будем считать сплошными и идеально проводящими. Требуется найти распределение \int_X и \int_Y Теперь уже на αb и $c\alpha'$ имеет место условие E_X = 0, которое переходит в \int_X + \int_Y = 0. Следовательно, уравнения

 $\Delta J_{x} = 0$, $\Delta J_{y} = 0$ со связанными граничными условиями

$$j_x = 0$$
 Ha AII M BC
 $\delta j_x/\delta y$ Ha $A\alpha$, δB , Cc , Dd
 $\delta j_y/\delta x$ Ha AD u BC
 $j_y = 0$ Ha $A\alpha$, δB , cC , Dd
 $j_x + j_y = 0$ Ha ab u cd
 $\beta j_x dx + \int j_y dy + \int j_x dx = U$

составляют одну краевую задачу. Здесь U — заданная разность потенциалов между электродами ab и cd .

п.2.5. В общем случае переменных по пространству 6, Ω , H, V_{x} , V_{y} целесосбразно воспользоваться скалярным потенциалом электрического поля Ψ и вектор — потенциалом электрического токар Ψ ([3], [4]).

Из уравнения (2.1) следует, что можно ввести скалярную функцию $\varphi(x,y,z)$, такую, что $E = - \text{grad} \, \Psi \qquad \qquad (2.27)$

Формально введенная таким образом функция φ имеет физический смысл потенциала электрического поля. Уравнение (2.2) сзначает, что \int можно представить как ротор от вектор-функции $\psi\{\psi_x(x,y,z),\psi_y(x,y,z)\}$, $\bar{\psi}_y(x,y,z),\psi_z(x,y,z)\}$, $\bar{\psi}_z(x,y,z)$

В случае, когда решение зависит только от двух проотранственных переменных \mathfrak{L} и \mathfrak{g} , а магнитное поле имеет только одну компоненту H_2 , отличную от нуля, потенциалы \mathfrak{g} и \mathfrak{g} также зависят только от двух переменных

$$\varphi = \varphi(x,y), \vec{\psi} = \vec{\psi}(0,0,\psi_{2}(x,y,z))$$
 (2.29)

В дальнейшем **Z** -компоненту потенциала ψ удобно обозначать просто' ψ .

Подставляя (2.27) и (2.28) в закон Ома (2.3), пслучаем в проекциях на оои x, y:

$$\Omega \frac{\partial \psi}{\partial x} - \frac{\partial \psi}{\partial y} - 6 \frac{\partial \psi}{\partial x} = -6 \text{Vy H} \quad (2.30)$$

$$\frac{\partial \psi}{\partial x} + \Omega \frac{\partial \psi}{\partial y} - 6 \frac{\partial \psi}{\partial y} = 6 \text{Vx H} \quad (2.31)$$

Физические зависимые переменные j_{\times} , j_{3} , E_{\times} , E_{y} выражаются через Ψ и ψ о помощью (2.27), (2.28)

$$j_{x} = \frac{\partial \psi}{\partial y} , j_{y} = -\frac{\partial \psi}{\partial x}$$
 (2.32)

$$E_{x} = -\frac{3\varphi}{3x}, E_{y} = -\frac{3\varphi}{3y}$$
 (2.33)

Сформулируем краевне условия для (2.30) и (2.31). Уравнение (2.8) переходит в $\partial \psi/\partial S = g(S)$ интегрирование которого дает

$$\psi(s) = v(s) = \int g(s) ds + const (2.34)$$

Отметим, что задание ψ на границе избавляет от необходимости задания дополнительного интегрального условия (2.10), которое фактически отражено в (2.34a). Условие (2.12) становитоя оледствием однозначности ψ .

Аналогично (2.9) дает условие

$$\frac{\partial \varphi}{\partial S} = 0$$

NILD

$$\varphi(s) = const$$

(2.35)

При этом условия (2.11), (2.13) также выполняются автоматически.

п.2.6. Система уравнений (2.30), и (2.31) может быть оведена к одному уравнению второго порядка для функции $-\frac{1}{32}(\frac{1}{6}\frac{34}{32})-\frac{1}{34}(\frac{1}{6}\frac{34}{34})-\frac{1}{32}(\frac{1}{6}\frac{34}{34})+\frac{1}{34}(\frac{1}{6}\frac{34}{32})=4, (2.36)$ $f = +\frac{\partial}{\partial x} (V_X H) + \frac{\partial}{\partial y} (V_Y H)$ Краевое условие (2.34) остается в силе и для (2.36)

$$\psi = V(S) \tag{2.37}$$

а (2.35) переходит в условие с "косой производной"

$$\frac{\partial \psi}{\partial n} + \Omega \frac{\partial \psi}{\partial \tau} = 6 V_n H \qquad (2.38)$$

Таким образом, для уравнения (2.36) поставлена краевая задача, для которой на части границы заданы значения $oldsymbol{arPsi}$ согласно (2.37): а на остальной части задана косая производная (2.38).

п.2.7. Представим краевую задачу (2.36)-(2.38) в операторной форме $A\psi = -4$ (2.39)

гле А - эллиптический оператор второго порядка

$$A\psi = -\frac{\partial}{\partial x} \left(\frac{\partial}{\partial x} \frac{\partial}{\partial y} \right) - \frac{\partial}{\partial y} \left(\frac{\partial}{\partial y} \frac{\partial}{\partial y} \right) - \frac{\partial}{\partial x} \left(\frac{\partial}{\partial y} \frac{\partial}{\partial y} \right) + \frac{\partial}{\partial y} \left(\frac{\partial}{\partial x} \frac{\partial}{\partial y} \right) + \frac{\partial}{\partial y} \left(\frac{\partial}{\partial x} \frac{\partial}{\partial y} \right) (240)$$

ействующий на достаточно гладкие функции ϕ _ подчиненные краевым оловиям (2.37), (2.38), И

і будем предполагать, что решение уравнения (2.39) существует, освляя в оторсне, вопросы связанные о соответствующими условиями, следование которых содержится в работах [5], [6], а также [7].

Что касается единственности решения, то она следует из

строгой положительности сператора \mathcal{A} , при однородных условиях (2.37), (2.38), которую мы сейчао установим. В самом деле, интегрируя по частям, нетгудно убедиться, что для произвольной области

$$(\psi, A\psi) = \iint_{G} \frac{1}{6} (\nabla \psi)^{2} dx dy - \oint_{G} \frac{\psi}{6} (\frac{\delta \psi}{\delta n} + \Omega \frac{\delta \psi}{\delta C}) dS \qquad (2.41)$$

ижи, в силу сднородности краевых условий

$$(\psi, \mathcal{A}\psi) = \iint_{\mathcal{E}} \frac{1}{6} (\nabla \psi)^2 dx dy > 0 \qquad (2.42)$$

Отсюда счевидно, что $(\psi, \mathcal{A}\psi) = 0$ тогда и телько тогда, когда $\psi = 0$ и, следовательно, оператор \mathcal{A} строго положителен.

Заметим, что (2.41) согласно (2.32) (2.6), (2.7) можно представить в виде

$$(\psi, A\psi) = I_1 + I_2$$
; $I_1 = \iint_G \frac{1^2}{6} dx dy$; $I_2 = \oint_{\Gamma} \psi E_{\Gamma} ds$

Интеграл I_1 представляет собой мощность выделения в среде джоулева тепла, а интеграл I_2 равен мощности энергии, отдаваемую средой. (если $I_2 < \mathcal{O}$, то среда получает энергию от внешних источников). Таким образом "энергия" оператора $(\psi, \mathcal{A} \psi)$ в общем случае неоднородных краевых условий по своему физическому смыслу означает полную работу, совершаемую средой в единицу времени.

В дальнейшем нам потребуется положительная определенность разностного аналога оператора A. Естественно сначала установить это свойство для дифференциального оператора. Из (2.42) следует при $0 < 6 \le 6_0$, что

$$(4,A4) \geqslant \frac{1}{60} \iint (\nabla \psi)^2 dx dy$$

Далее для произвольной области G легко следует положительная определенность оператора A в случае полностью первой краевой задачи (2.37) и в случае, когда на всей границе области G имеет место (2.38). Для доказательства достаточно воспользоваться соответственно неравенствами фридрихса [8] и Пуанкаре [9] так же, как это оделано, например, в [10].

Для случая смешанной краевой задачи ограничимоя прямоугольной областью АВСД и потребуем, чтобы краевое условие (2.37) имело место хотя бы на одной из сторон, например на \mathcal{AP} . Тогда

$$[u(x,y)]^2 = (\int_{0}^{\infty} \frac{\partial u}{\partial x}(x,y) dx)^2 \leq I \int_{0}^{\infty} (\frac{\partial u}{\partial x})^2 dx$$

И

$$\iint_{ABCD} u^2 dxdy \leq \mathcal{I}^2 \iint_{ABCD} (\frac{\partial \mathcal{U}}{\partial x})^2 dxdy$$

цесь Z - длина наибольшей из сторон прямоугольника АВСД. Усилизя это неравенство получаем

$$\iint u^2 dx dy \leq \mathcal{I}^2 \iint (\nabla u)^2 dx dy$$
ABCD
ABCD

куда

$$(\psi, A\psi) \ge 8^2(u, u)$$
 (2.43)

им образом и в этом случае при $0 < 6 \le 6$, оператор. оложительно определен.

В заключение отметим, что оператор A является самосопряженным ца и только тогда, когда $Q \equiv O$. В общем случае $Q \neq O$ его представить в виде.

$$A = A_c + A_a$$

hae \mathcal{A}_{c} - самосопряженный положительный оператор

$$A_c \psi = -\frac{\partial}{\partial x} \left(\frac{1}{6} \frac{\partial \psi}{\partial x} \right) - \frac{\partial}{\partial y} \left(\frac{1}{6} \frac{\partial \psi}{\partial y} \right)$$

 \mathcal{A}_{lpha} - антисимметричный оператор

$$\mathcal{A}_{\alpha}\psi = -\frac{\partial}{\partial x}\left(\frac{\Omega}{6}\frac{\partial\psi}{\partial y}\right) + \frac{\partial}{\partial y}\left(\frac{\Omega}{6}\frac{\partial\psi}{\partial x}\right)$$

Отметим, что оператор \mathcal{A}_{α} не имеет "энергии"

$$(\psi, A_a \psi) = 0$$

NOSTONY

$$(\Psi, \mathcal{A} \Psi) = (\Psi, \mathcal{A}_{c} \Psi)$$

п.2.8. Обратимся снова к уравнению в операторной форма

$$\mathcal{A}u = -4 \qquad (2.44)$$

олодоватольно, решение уравнения (2.44), если оно существует единственно. Обсаначим через $C_{i}^{(2)}$ семейство функции дважди непрерывно дифференцируемых внутри G и удовлетворяющих только

однородному (V=O) краевому условию (2.46). Семейство дважды непрерывно дифференцируемых функций, удовлетворяющих (2.46), обозначим через U. Функция $u \in U$ является решением задачи (2.44) - (2.47) тогда и только тогда, когда для любой $V \in C_i^{(2)}$ выполняется равенство

$$\Phi(u,v) = (1,v) - I = 0 \ \forall v \in C_1^{(2)}$$
 (2.48)

$$I = \iint_G J(u, v) dx dy$$

$$J(u, v) = \frac{u_x v_x}{6} + \frac{u_y v_x}{6} + \frac{\Omega}{6} u_y v_x - \frac{\Omega}{6} u_x v_y \quad (2.49)$$

Справедливость этого утверждения сразу следует из интегральной формулы Грина [10]

+
$$\iint v dx dy + \iint J(u,v) dx dy = \oint \frac{v}{6} \left(\frac{\partial u}{\partial n} + \Omega \frac{\partial u}{\partial \tau}\right) ds +$$
+ $\iint v (Au + 1) dx dy$ (2.50)

и произвела выбора функции ${f U}\in C_1^{(2)}$.

В свою очередь (2.48) можно использовать для определения ретения, вообще говоря, обобщенного [15], задачи (2.44) — (2.47). В дальнейшем такое определение решения будет использовано при остроении разностного аналога оператора $\mathcal A$.

Полагая $u = v \in C_i^{(2)}$, в (2.50) получаем выражение для тергии оператора

$$I = \iint_G J(u, u) dx dy = \iint_G u \cdot Au dx dy = (u, Au) (2.51)$$

Построим сопряженный оператор, используя (2.50). Ваметим, что если сбратить знак Ω и поменять ролями $u \in C_i^{(2)}$ и $v \in C_i^{(2)}$ то (2.50) примет вид:

$$\iint_{G} u \, dx \, dy + \iint_{G} J(u, v) \, dx \, dy = \oint_{G} \frac{u}{\delta} \left(\frac{\partial v}{\partial n} - \Omega \frac{\partial v}{\partial \tau} \right) ds +$$

$$+ \iint_{G} u \left(A^*v + f \right) dx \, dy$$

где \mathcal{A}^* v является сопряженным дифференциальным выражением для (2.45). Сопоставляя последнее равенство с (2.50), получаем, что оператором сопряженным к \mathcal{A} будет

$$\frac{\partial V}{\partial n} - \Omega \frac{\partial V}{\partial \tau} \Big|_{\Gamma_2} = 0$$

Заметим, что рассмотрение, проведенное в этом пункте обобщается на случай несамосоприжённых эллиптических операторов вида

$$Au = \sum_{i,k=1}^{2} \frac{\partial}{\partial x_{i}} \left(A_{ik} \frac{\partial u}{\partial x_{k}} \right) + Cu ; c \ge 0$$

с переменными коэффициентами \mathcal{A}_{ik} и C с граничными условиями вида $\mathcal{U}/_{\Gamma} = \mathcal{V}(S)$ и

 $\sum_{i=1}^{2} A_{ik} \frac{\partial u}{\partial x_{k}} \cos(n, x_{i}) \Big|_{\Gamma_{2}} = 0$

можно рассматривать также и более общие типы краевых условий.

п.2.9. Аналогичный образом из (2.30), (2.31) следует уравнение для скалярного потенциала, φ , которое сразу удобно представить в операторной форме

$$\mathcal{A}\varphi = -\mathcal{I}$$

$$\mathcal{A} \varphi = -\frac{\partial}{\partial x} \left(\frac{6}{1 + \Omega^2} \frac{\partial \varphi}{\partial x} \right) - \frac{\partial}{\partial y} \left(\frac{6}{1 + \Omega^2} \frac{\partial \varphi}{\partial y} \right) +$$

$$+\frac{\partial}{\partial x}\left(\frac{6\Omega}{1+\Omega^2}\frac{\partial \varphi}{\partial y}\right) - \frac{\partial}{\partial y}\left(\frac{6\Omega}{1+\Omega^2}\frac{\partial \varphi}{\partial x}\right)$$

Оператор А снева определен на функциях, имеющих кусочно-гладкие первые производные. При этом рассматрившемые функции на части границы (электродах) удовлетворяют условию, которое следует из (2.9).

$$\varphi$$
 = const

На остальной части границы имеет место условие косой производной

$$\Omega \left(\frac{\partial \varphi}{\partial r} + U_n H \right) - \frac{\partial \varphi}{\partial n} + U_n H = 0$$
 (2.46)

которое следует из (2.8).

Уравнения (2.50)—(2.53) определяют краевую задачу для Снова можно показать, что оператор A всегда положителен и положительно определен, если $\frac{5}{1+22} > \alpha_n > 0$. Оператор A является самосопряженным при $\Omega = 0$, а при $\Omega \neq 0$ он несамосопряжению и очевидным образом представляется в виде суммы самосопряженного и антисимиетричного операторов.

§ 3. <u>Разностная задача</u>

Уточним постановку задачи. В примоугольной области АВСД требуется найти распределение компонент напряженности электрического поля E_x , E_y и плотности электрического тока J_x , J_x . На участках граници a ACc и d B Dd задано условие $J_n = D$, на участках ab и cd ставится условие $E_t = 0$. Полний ток, протеквищий через электроды, задан и равен J. В § 2 отмечалось несколько подходов к решению такого типа задач. Остановимся на описании решения с помощью вектор-потенциала V. Выпишем еще раз уравнение

$$\frac{\partial}{\partial x} \left(\frac{\partial v}{\partial x} \right) + \frac{\partial}{\partial y} \left(\frac{\partial}{\partial y} \right) - p \frac{\partial v}{\partial x} + q \frac{\partial v}{\partial y} = f$$

$$p = \frac{\partial}{\partial y} \left(\frac{Q}{6} \right) , \quad q = \frac{\partial}{\partial x} \left(\frac{Q}{6} \right)$$

$$f = \frac{\partial}{\partial x} (v_x H) + \frac{\partial}{\partial y} (v_y H)$$
(3.1)

и краевне условия

$$\Psi=0$$
 Ha afic, $\Psi=J_0$ Ha $tBDd$ (32)

$$\frac{\partial \psi}{\partial y} = \Omega \frac{\partial \psi}{\partial x} \quad \text{Ha at } u \text{ cd} \qquad (3.2')$$

Отметим, что использование потенциала У оводит задачу, во-первых, к решению одного уравнения и, во-вторых, имеются участки границии с первым краевым условием. Последнее особенно оущеотвенно в случае, если на ав и са задавать У как функцию с , считая электроды идеально-секционированными, что приводит к первой краевой задаче на всей границе для уравнения (3.1). К разноотному решению таких краевых задач обращались авторы работ [11], [12] В работе [11] задача Пуанкаре (задача с косой производной на всей границе) сводится к задаче Гильберта. В работе [12] оцениваются операторы повышенного порядка точности, шаблон которых на границе содержит много точек.

п.З.І. Особенностью уравнения (З.І) является присутствие в это ксэффициентах множителя 1/6, в котором величина 6 может обращаться в нуль внутри некоторого заранее неизвестного участка бласти. В этом случае удобно ввести в рассмотрение наряду с функией V новие зависимие переменные, имеющие смысл потоков

$$W_{x} = -\frac{1}{6} \frac{\partial y}{\partial x} , \quad W_{y} = -\frac{1}{6} \frac{\partial y}{\partial y}$$
 (3.5)

Уравнение (3.1) в нових переменных принимает вид

$$\frac{\partial w_x}{\partial x} + \frac{\partial w_y}{\partial y} - \ell_x w_x + \ell_y w_y + f = 0 \tag{3.4}$$

$$f_x = 5 \frac{\partial}{\partial y} \left(\frac{\Omega}{S}\right), \quad f_y = 5 \frac{\partial}{\partial x} \left(\frac{\Omega}{S}\right), \quad f = \frac{\partial}{\partial x} \left(0xH\right) + \frac{\partial}{\partial y} \left(0yH\right)$$

Краевое условие (3.2') в новых переменных переходит в $W_y = \sum W_x$. (3.5)

п.3.2. Перейдем к разностной аппрокоммации (3.3)-(3.5). Пуоть счетная область покрыта разностной сеткой о шагами h_x , h_y по направлениям x и y соответственно. Каждый узел сетки (i,j) имеет координаты

$$x_i = x_0 + ih_x$$
, $i = 0, 1, ..., N$
 $y_j = y_0 + jh_x$, $j = 0, 1, ..., M$
(3.6)

Будем относить значения функции Ψ_{ij} к уздам разностной сетки значения, W_{xij} и W_{yij} к центрам интервалов между уздами (i-i,j),(i,j) и между (i,j-i),(i,j) осответственно (фиг.3). Значения S_{ij},V_{xij},V_{yij} и H_{ij} отнесем к центрам ячеек.

Во внутренних узлах разностной сетки равенства (3.3) аппрокоимируем со вторым порядком точнооти $\mathcal{O}(h^2)$ следующими соотношения—
ми

$$\begin{aligned} \Psi_{ij} - \Psi_{i+1j} &= S_{x \, i+1j} \, W_{x \, i+1j} \\ \Psi_{ij} - \Psi_{ij+1} &= S_{y \, ij+1} \, W_{y \, ij+1} \\ S_{x \, i+1,j} &= 0.5 \, h_x \left(S_{ij} + S_{ij-1} \right) \,, \, S_{y \, ij+1} &= 0.5 \, h_y \left(S_{ij} + S_{i-1,j} \right) \end{aligned}$$

если j=0 , или j=M , топпа $S_{xi+j}=h_x S_{i0}$ или $S_{xi+j}=h_x S_{iM-i}$

Дифференциальное уравнение (3.4) также с точностью $O(h^2)$ аппроксимируется разностным уравнением

$$\frac{1}{h_{x}} (W_{xi+ij} - W_{xij}) + \frac{1}{h_{y}} (W_{yij+i} - W_{yij}) + 0.5 (k_{xi+ij} W_{xi+ij} + k_{xij} W_{xij}) + 0.5 (k_{yij+i} W_{yij+i} + k_{yij} W_{yij}) + f_{ij} = 0$$
(3.8)

$$b_{xij} = -\frac{1}{h_{y}} \frac{G_{i-1j} + G_{i-1j-1}}{2} \left(\frac{\Omega_{i-1j}}{G_{i-1j}} - \frac{\Omega_{i-1j-1}}{G_{i-1j-1}} \right)$$

$$b_{yij} = \frac{1}{h_{x}} \frac{G_{ij-1} + G_{i-1j-1}}{2} \left(\frac{\Omega_{ij-1}}{G_{ij-1}} - \frac{\Omega_{i-1j-1}}{G_{i-1j-1}} \right)$$

$$f_{ij} = -\frac{1}{2h_{x}} \left(\mathcal{V}_{xij-1} + \mathcal{V}_{xij} + \mathcal{V}_{xij} + \mathcal{V}_{xij} + \mathcal{V}_{xij-1} + \mathcal{V}_{x$$

п.3.3. Обратимся к аппрокоммации краевых условий (3.2), (3.2) в граничных узлах. Условие (3.2), соответствующее первой краевой задаче, выполняется точно

$$\Psi_{ij} = \nu_{ij} \tag{3.9}$$

Для аппроксимации (3.2') воспользуемся разностным аналогом уравнения (3.1) в граничной точке 13. Так, после аппроксимации (3.1) в точке (i,0) на участке ab (фиг.4) получим оледующее равенство (3.10)

Заменив в (3.10) $\left(\frac{1}{5}\frac{\partial \psi}{\partial y}\right)_{io}$ согласно краевому условию (3.2) на $\left(\frac{2}{5}\frac{\partial \psi}{\partial x}\right)_{io}$ получим

$$\frac{1}{h_{x}}\left(W_{x\,i+1,0}-W_{x\,io}\right)-\frac{2}{h_{y}}W_{y\,i,1}-\frac{2}{h_{y}}\left(\frac{2}{6}\right)\frac{\partial \psi}{\partial x}\Big|_{io}+\frac{h_{y}\left(\frac{1}{2}\right)\frac{\partial \psi}{\partial x}\Big|_{io}}{2\left[\frac{\partial \psi}{\partial x}\right]_{io}}+\frac{1}{\left[\frac{\partial \psi}{\partial x}\right]_{$$

Оторда, пользуясь равенотвом

$$\left[\frac{\Omega}{6}\frac{\partial \mathcal{V}}{\partial x}\right]_{io} + \frac{h_{\mathcal{V}}}{2}\left[\frac{\partial \mathcal{V}}{\partial y}\left(\frac{\partial \mathcal{V}}{\partial x}\right)_{io} - \left(\frac{\Omega}{6}\right)_{i,y_{e}}\left[\frac{\partial \mathcal{V}}{\partial x}\right]_{io} + \left(\frac{1}{2}\right)_{i=-2}\left(\Omega_{i-10}W_{xio} + \Omega_{io}W_{xin,0}\right) + O(h^{2})\right]$$

приходим к следующей аппроксимации краевого условия (3.2) о помощью уравнения (3.1)

Равенство (3.II) аппроксимирует в точке (io) дифференциальное уравнение (3.I) с первым порядком O(h), но этого оказывается достаточно, чтобы аппроксимировать оо вторым порядком $O(h^2)$ краевое условие (3.2)

Аналогично равенство

$$-\frac{1}{h_{x}}\left(W_{xi+iM}-W_{xim}\right)+\frac{2}{h_{y}}W_{yiM-i}-\frac{1}{h_{y}}\left[\sum_{i-iM-i}W_{xiM-i}+\sum_{iM-i}W_{xiM-i}\right]+$$

$$+\frac{1}{h_{x}}\left[\left(\frac{2}{5}\right)_{iM-i}-\left(\frac{2}{5}\right)_{i-iM-i}\right]\frac{\sum_{i-iM-i}+\sum_{iM-i}W_{xiM-i}}{2}W_{yiM}=\lim_{i\to\infty}\left(3.11'\right)$$

аппрокоимирует краевое уоловие на $c\phi$.

1.3.4. Таким воразом, получаем разностную краевую задачу (3.7) -(3.9), (3.11), (3.11) для определения сеточных функций W_{ij} , W_{xij} и W_{yij} . Эту задачу назовем задачей I. От нее можно перейти к разностной краевой задаче только для функции W_{ij} , если с помощью (3.7) исключить из (3.9), (3.11), (3.12) нотоки W_{xij} , W_{yij} . В результате получим, что (3.1) аппрексимируетоя выражением

$$-\left(\frac{1}{6} - \sqrt{x}\right)_{x} - \left(\frac{1}{6} - \sqrt{y}\right)_{y} + \frac{1}{2} \left(\frac{p}{4x} + \frac{p}{4x}\right) - \frac{1}{2}(q^{-1}\sqrt{y} + q^{+1}\sqrt{y}) + f = 0$$

$$p_{-} = \left(\frac{2}{5}\right)_{\bar{y}}, \quad q^{-} = \left(\frac{2}{5}\right)_{\bar{x}}$$
(3.12)

Краевне условия на $\alpha A \mathbb{J} d$ и $\ell B \ell_C$

Ha ab
$$\frac{\psi_{ij} = \nu}{-\left(\frac{1}{6} - \psi_{\overline{x}}\right)_{x} - \frac{2}{h_{y}6} + \psi_{y} + \frac{1}{h_{y}}\left[\frac{2}{5}\right]_{i-10} \psi_{\overline{x}} + \frac{2}{5}\right]_{i0} \psi_{x} - \frac{2}{h_{y}6} + \psi_{y} + \frac{1}{h_{y}}\left[\frac{2}{5}\right]_{i-10} \psi_{\overline{x}} + \frac{2}{5}\right]_{i0} \psi_{x} - \frac{2}{h_{y}6} + \psi_{y} + \frac{1}{h_{y}6} = 0 \quad (3.14)$$
IN HA cd
$$-\left(\frac{1}{6} - \psi_{\overline{x}}\right)_{x} + \frac{2}{h_{y}6} - \psi_{\overline{y}} - \frac{1}{h_{y}}\left[\frac{2}{5}\right]_{i-1M-1} \psi_{\overline{x}} + \frac{2}{6}\right]_{iM-1} \psi_{y} - \frac{1}{h_{y}6} = 0 \quad (3.15)$$

Обозначения использованные здесь показаны на фиг.5, если j=0 или j=M , то 6=6 или 6=6 или 6=6 или 6=6 соответственно.

Равенства (3.12)-(3.15) составляют разностную краевую задачу, эквивалентную задаче I. Будем ее называть задачей П. Задача I более удобна в алгоритмическом плане, а задача П удобнее для исследования свойств разностного оператора.

п.3.5. При замене дифференциальной задачи разностной, желательно требовать от разностного оператора сохранение свойств дифференциального оператора. В § 2 показано, что дифференциальный оператор положителен и его "энергия" определяется величиной

$$(Au,u) = \iint_{\mathcal{E}} \frac{1}{6} \left[\left(\frac{\partial u}{\partial x} \right)^2 + \left(\frac{\partial u}{\partial y} \right)^2 \right] dx dy \tag{3.16}$$

Потребуем, чтобы оператор A разностной краевой задачи Π также обы положителен и анпроксимировал энергию дифференциального оператора. Предварительно сформулируем задачу Π в стандартных обозначениях. Совокупность внутренних узлов обозначим \mathcal{W}_k , а граничных \mathcal{Y}_k . Тогда (3.12) запишем в виде

$$A_{\omega}y = f$$
 Ha ω_{h} (3.17)

а (3.13)-(3.15) - в виде

$$A_{\mathcal{Y}} = f$$
 Ha $Y_{\mathcal{X}}$

Окончательно во внутренних узлах ω_h имеем

$$-\left(\frac{1}{6} y_{\bar{x}_{1}}\right)_{x,} - \left(\frac{1}{6} y_{x_{2}}\right)_{x_{1}} + \frac{1}{2} \left(\frac{1}{2} y_{\bar{x}_{1}} + \frac{1}{2} y_{x_{1}}\right) - \frac{1}{2} \left(\frac{1}{2} y_{\bar{x}_{2}} + \frac{1}{2} y_{x_{2}}\right) + f = 0$$
на участке границы **ав** в точках (i,0)

$$-\left(\frac{1}{5} y_{\overline{x_1}}\right)_{x_1} - \frac{2}{h_264} y_{20} + \frac{1}{h_2} \left(\frac{2}{6}\right)_{io} y_{x_1} + \left(\frac{2}{6}\right)_{i-1,0} y_{\overline{x_1}} - q + y_{x_2} + f = 0 \quad (3,20)$$

на cd точках (i, M)

$$-\left(\frac{1}{5} y_{\bar{x}_1}\right)_{x_1} + \frac{2}{h_2 5} y_{\bar{x}_2} - \frac{1}{h_2} \left(\frac{1}{5}\right)_{i,m-1} y_{x_1} + \left(\frac{1}{5}\right)_{i-1,m-1} y_{\bar{x}_2} - \frac{1}{9} y_{\bar{x}_2} + \frac{1}{9} = 0 \quad (3.21)$$
He add a fBCc
$$y = y$$

Найдем "энергию" оператора для однородных функций на участках границы с I-ой краевой задачей

$$(Ay,y) = \sum_{\omega_h} y A_{\omega} y h_1 h_2 + \frac{1}{2} \sum_{\gamma_h} y A_{\gamma} y h_1 h_2 \qquad (3.23)$$

В первом слагаемом (3.23) оуммирование ведется по всем внутрен-

$$\sum_{w_{h}} y A_{w} y h_{1} h_{2} = \sum_{i=1, j=1}^{N-1} y A_{w} y h_{1} h_{2}$$
 (3.24)

Не ограничивая общности, будем считать, что горизонтальные участки границы полностью заняты электродами, то есть ав совпада- ет о АВ и совпадает с П . Тогда суммирование во втором

$$(A_{\gamma}y,y) = \frac{1}{2} \sum_{\gamma_{i}} y A_{\gamma}yh, h_{2} = \frac{1}{2} \left[\sum_{i=1}^{N-1} y A_{\gamma}yh, h_{2} \right]_{j=0} + \frac{1}{2} \left[\sum_{i=1}^{N-1} A_{\gamma}yyh, h_{2} \right]_{j=M} (3.25)$$

и кинавочине фефиц и кумоф винтоо чаотям [3] получаем

$$\sum_{i=1,j=1}^{N-1} y A_{w} y h_{1} h_{2} = \sum_{i=1,j=1}^{N} \frac{1}{6} (y_{\overline{x}_{1}})^{2} h_{1} h_{2} + \sum_{i=1,j=1}^{N-1} \frac{1}{6} (y_{\overline{x}_{2}})^{2} h_{1} h_{2} - \sum_{i=1,j=1}^{N-1} \frac{1}{6} (y_{\overline{x}_{2}})^{2} h_{1} h_{2} + \sum_{i=1,j=1}^{N-1} \frac{1}{6} (y_{\overline{x}_{2}})^{2} h_{1} h_{2}$$

$$\frac{A_{\gamma} y_{j} y}{2} = \frac{h_{1}h_{2}}{2} \sum_{i=1}^{N} \left[\frac{1}{6} (y_{\bar{x}_{i}})^{2} \right]_{j=0} - h_{1} \sum_{i=1}^{N-1} \left[\frac{1}{6} y_{x_{2}} y \right]_{j=0} - \frac{h_{1}h_{2}}{2} \sum_{i=1}^{N-1} \left[\frac{1}{6} y_{x_{2}} y \right]_{j=0} + \frac{h_{1}h_{2}}{2} \sum_{i=1}^{N} \left[\frac{1}{6} (y_{\bar{x}_{i}})^{2} \right]_{j=M} + h_{1} \sum_{i=1}^{N-1} \left[\frac{1}{6} y_{\bar{x}_{2}} y \right]_{j=M} + \frac{h_{1}}{2} \sum_{i=1}^{N-1} \left[\frac{1}{6} y_{\bar{x}_{2}} y \right]_{j=M} - \frac{h_{1}h_{2}}{2} \sum_{i=1}^{N-1} \left[\frac{1}{6} y_{\bar{x}_{2}} y \right]_{j=M}$$

$$(3,27)$$

Учитывая, что $(q_+) \overline{x}_2 = (p_+) \overline{x}_1$, для энергии разностного опера-

$$(Ay, y) = (A_{w}y, y) + (A_{y}y, y) = \sum_{i=1, k=1}^{N, M-1} \frac{1}{6} (y_{x_{i}})^{2} h_{1} h_{2} + \sum_{i=1, k=1}^{N-1, M} \frac{1}{6} (y_{\overline{x}_{i}})^{2} h_{1} h_{2} + \sum_{i=1, k=1}^{N-1, M-1} \frac{1}{6} (y_{\overline{x}_{i}})^{2} h_{1} h_{2}$$

Это означает, что оператор A положителен и его энергия анпроссимирует энергию дифференциального оператора $\mathcal H$.

п.З.б. Получим разностную краевую задачу (8.19) - (8.22), используя функционал (2.48). Введем разностный аналог

Вдесь

$$(\bar{f},\bar{v})_{i\kappa} = \frac{1}{16} (v_{i\kappa} + v_{i+i\kappa} + v_{i+i\kappa+1} + v_{i\kappa+1}) (f_{i\kappa} + f_{i+i\kappa} + f_{i+i\kappa+1} + f_{i\kappa+1})$$

Нетрудно проверить, что разностный функционал $\mathcal{P}_{/}$ аппрокоминрует $\mathcal{P}_{/}$ со вторым порядком точности, т.е.

$$\mathcal{F}(u,v) - \mathcal{F}_h(u,v_h) = \mathcal{O}(h_1^2 + h_2^2)$$

Здесь сеточная функция \mathcal{V}_k' совнадает в каждом узле сетки с \mathcal{V} . Будем искать сеточную функцию \mathcal{Y} такую, чтобы

$$\Phi_{\lambda}(y, V_{\lambda}) = 0 \tag{3.30}$$

для любой $V \in C_i^2$.

Покажем, что вадача (8.30) эквивалентна разностной краевой вадаче(3.19)-(3.22).Действительно, преобразуя выражение для Φ_{i} , HUPYRON

$$\Phi_{h} = \sum_{i,k=1}^{N-1} \left\{ 0ik - \left(\frac{1}{6} - \frac{1}{\sqrt{x_{i}}} \right) x, - \left(\frac{1}{6} - \frac{1}{\sqrt{x_{2}}} \right) x_{2} + \frac{1}{2} \left(p + \frac{1}{\sqrt{x_{1}}} + p - \frac{1}{\sqrt{x_{1}}} \right) - \frac{1}{2} \left(q - \frac{1}{\sqrt{x_{2}}} + q + \frac{1}{\sqrt{x_{2}}} \right) + fik \right\} + \frac{1}{2} \sum_{i=1,j=0}^{N-1} v_{i0} \left\{ - \left(\frac{1}{6i + 0} - \frac{1}{\sqrt{x_{1}}} \right) x, - \frac{1}{h_{2}} \left(\frac{1}{6} + \frac{1}{0} - \frac{1}{0} - \frac{1}{\sqrt{x_{2}}} + \frac{1}{h_{2}} \left(\frac{Q}{6} \right) - \frac{1}{10} \frac{1}{\sqrt{x_{1}}} + \frac{1}{\sqrt{x_{2}}} \left(\frac{1}{\sqrt{x_{1}}} \right) x_{1} + \frac{1}{\sqrt{x_{2}}} \left(\frac{1}{\sqrt{x_{2}}} \right) u_{x_{1}} + f_{i0} \right\} + \frac{1}{2} \sum_{i=3,j=M} v_{iM} \left\{ - \left(\frac{1}{\sqrt{x_{1}}} - \frac{1}{\sqrt{x_{1}}} \right) x, + \frac{1}{\sqrt{x_{1}}} \left(\frac{1}{\sqrt{x_{1}}} \right) u_{x_{2}} - q + u_{x_{2}} - q + u_{x_{2}} - \frac{1}{\sqrt{x_{1}}} \left(\frac{Q}{\sqrt{x_{1}}} \right) - \frac{1}{\sqrt{x_{1}}} \left(\frac{Q}{\sqrt{x_{1}}} \right) u_{x_{1}} + \frac{1}{\sqrt{x_{1}}} \left(\frac{1}{\sqrt{x_{1}}} \right) u_{x_{2}} - q + u_{x_{2}} - \frac{1}{\sqrt{x_{1}}} \left(\frac{Q}{\sqrt{x_{1}}} \right) u_{x_{1}} + \frac{1}{\sqrt{x_{1}}} \left(\frac{1}{\sqrt{x_{1}}} \right) u_{x_{2}} - q + u_{x_{2}} - q + u_{x_{2}} - q + u_{x_{2}} - q + u_{x_{2}} \right) u_{x_{1}} + \frac{1}{\sqrt{x_{1}}} \left(\frac{Q}{\sqrt{x_{1}}} \right) u_{x_{1}} + \frac{1}{\sqrt{x_{1}}} \left(\frac{1}{\sqrt{x_{1}}} \right) u_{x_{2}} - q + u_{x_{2}} - q + u_{x_{2}} - q + u_{x_{2}} \right) u_{x_{1}} + \frac{1}{\sqrt{x_{1}}} \left(\frac{1}{\sqrt{x_{1}}} \right) u_{x_{2}} - q + u_{x_{2}} \right) u_{x_{1}} + \frac{1}{\sqrt{x_{1}}} \left(\frac{1}{\sqrt{x_{1}}} \right) u_{x_{2}} - q + u_{x_{2}} \right) u_{x_{2}} - q + u_$$

, получаем (3.19)-(3.22). Откуда, польвуясь произвольностью \mathcal{O}_{λ}

Обратимся к вопресу об аппроксимации решения и дифференциальной задачи (2.44) - (2.47) решением у разностной задачи (3.19) -— (8:22) эквивалентной (3.30). Так как $\Phi(u,v) = \Phi_h(y,v_h) = 0$ для любых $v \in C_1^2$, то справедливо тождество

$$\Phi_h(u-y,v_h) = \Phi_h(u,v_h) - \Phi_h(u,v_h) - \Phi(u,v) \qquad (3.32)$$

Последняя часть равенства есть погрешность аппроксимации . Предположим, что она имеет порядок $O(h^m)$, где h= max (h1, h2) в любой ячейке (і́, ј), т.е.

$$\Phi_{h}(u,v_{h}) - \Phi(u,v) = \sum_{i,j} K_{ij} h^{m} h_{1} h_{2}$$
 (3.33)

Функция \mathcal{K} равномерно по h ограничена в области \mathcal{E} и вависит, восоще говоря, от производных \mathcal{U} и \mathcal{U} , существование которых предполагается.

С другой стороны, согласно (3.31),

$$\Phi_{h}\left(u, v_{h}\right) - \Phi(u, v) = \sum_{i, k} v_{ik} \left(A_{h} u - f\right) h_{1} h_{2} = \sum_{i, k} v_{ik} \psi_{ik} h_{1} h_{2} \qquad (3.34)$$

где ψ_{ik} — погрешность аппроксимация дифференциального оператора \mathcal{H} разноствым оператором A , построенным више.

Выберем $V \in C_1^2$, такую что $V = V_{ik}$ в узне (ik) и равную нулю во всех остальных узлах. Тогда из (8.83) и (8.84) следует, что

где K_{ik} есть сумма конечного числа слагаемых K_{ik} не зависящего от шага разностной сетки. Так как V_{ik} проязвольно, а Au не зависит от V, то $\widehat{K}_{ik} = V_{ik} \ \overline{K}_{ik}$, где \overline{K}_{ik} зависит уже только от решения u и равномерно ограничена по h. Псетому

Проведенное рассмотрение не зависит от конкретного вида оператора \mathcal{H} и распростравлется на более общий случай, отме-

1.7

Полученная оценки для погравности аппроксимации ψ будет использована ниже при доказательстве сходимости разностной задачи в п.8.9.

Как и в § 2 можно показать, что оператор A^* , сопряженный A (с однородными граничными условиями) получается обращением знака Ω .

Ваметим, что для разностного аналога I имеем $I_k(y,y) = (Ay,y) = (A^*y,y) > 0$ при $y \neq 0$

Отсюди следует положительность A и A^* , а также существование и единственность разностных краевых задач как для A, так и для A^* .

п. 8.7. При использовании методов переменных направления для решения многомерных эллиптических и параболических уравнений требуется решеть последовательность одномерных разностных краевых задач. После введения, согласно (8.7); новой неизвестной функции потока W одномерная разностная задача принимает вид

Ae We - Be We+1 - Ce ye = - Fe (3.35)
$$Se We = ye-1 - ye \qquad (3.36)$$

Схема (3.35), (3.36) удовлетворяет принципу максимума [3], если Ae>0, Be>0, Ce>0, Se>0, т.е. решение Ye монотонно. Іто касается коэффициентов Ce и Se, то для эллиптических и

параболических задач всегда имеет место $C_\ell > 0$, $S_\ell > 0$. Однако коэффициенты A_ℓ , B_ℓ для несамосопряженного эллиптического оператора при наличии первых производных могут стать отрицательными. Действительно, аппроксимируя первые производные центральными разностями, получаем

$$Ae = Ane + hae$$
 , $Be = Bne + hbe$

где $A_{4\ell} > 0$, $B_{1\ell} > 0$, а $C_{\ell} \in M$ вогут иметь произвольный знак. Следовательно, (3.35) и (3.36) удовлетворяют принципу максимума, вообще говоря, при ограничении на шаг . Одна из возможностей набежать этого нежелательного ограничения состоит в использовании односторонней аппроксимации первой производной с учетом знака ее козффициента. Однако при этом получается

первый порядок аппроксимации.

В работе [14] предложен прием названный монотонизацией, невволяющий для уравнений с несамосопряженным эллиптическим оператором получать охемы удовлетворяющие принципу максимума, сохраняя при этом второй порядок аппрокоимации. Проведем монотонизацию (3.35) следуя [14]. Введем

 $\alpha_{\epsilon}^{\star} = 0.5(\alpha_{i} + |\alpha_{i}|)$, $\alpha_{\epsilon}^{-} = 0.5(\alpha_{i} - |\alpha_{e}|)$

тогда в (3.35) коэффициенты при потоках $W_{\ell+1}$ можно представить

$$A_{\ell} = A_{1\ell} + h\alpha_{\ell} = \frac{A_{1\ell}}{1 + h} \frac{1\alpha_{\ell}!}{A_{1\ell}!} + 2h\alpha_{\ell}! + C(h^{2})$$

$$B_{\ell} = B_{1\ell} + h\delta_{\ell} = \frac{B_{1\ell}}{1 + h} \frac{16\ell!}{B_{1\ell}!} + 2h\delta_{\ell}! + C(h^{2})$$

Следовательно, заменяя коэффициент А на

$$\widetilde{B}_{e} = \frac{B_{1c}}{1 + h} \frac{B_{1c}}{B_{1c}}$$

получам, сохраняя второй порядок аппроксимации, схему удовлетворяющую принципу маконмума

Возникает вопрос, как влияет монотонизация на энергию разностного оператора.

Выясним его оначала на примере одномерного оператора

$$\mathcal{L}u = \frac{d}{dx} \kappa \frac{du}{dx} + 2\frac{du}{dx} \tag{3.37}$$

Оператор немонотонной разностной схемы имеет вид

$$\Lambda y = (K - y_{\overline{x}})_{x} + G_{5}(7 - y_{\overline{x}} + 7 + y_{x}) = (K - G_{5}h/7 - |y_{\overline{x}}|_{x} + 7 - y_{\overline{x}} + 7 + y_{x})$$
(3.38)

После монотонизации получаем

$$\tilde{\Lambda} y = \frac{k_{-}}{1 + 0.5h \frac{17-1}{k_{-}}} y_{\bar{x}} \bigg)_{x} + 7^{-} u_{\bar{x}} + 7^{+} u_{x} \qquad (3.39)$$

Таким образом,

$$\tilde{\Lambda}y = \Lambda y + \left(\frac{c_{1}25 h^{2}/7_{-}/2}{k_{-}-c_{1}5h/7_{-}/2} , \frac{4\pi}{x}\right) x \tag{3.40}$$

откуда получаем, что монотонизация схемы дает приращение "энергии" соответствующему разностному оператору $\sim h^2$

$$(\tilde{\Lambda}y, y) = (\Lambda y, y) + h \sum_{i=1}^{N-1} \frac{o.25 h^2 /2 - l^2}{k_{-} + o.5 h /2 - l} (y_{\bar{x}})^2$$
3.41

Аналогичным образом можно получить, что монотонизованный оператор соответствующий разноотной схеме, определяемой правенст-

BAME (3.19)-(3.22) UMGET" SHEPTING"

$$(\tilde{A}y,y) = h_1 h_2 \left\{ \sum_{i=1/k-1}^{N/M-1} \frac{1}{6} \left(1 + \frac{0.25 h_2^2 / p_1^2 (6_1)^2}{1 + 0.5 h_1 / p_1 / 6_2} \right) (y_{\bar{x}_1})^2 + \sum_{i=1/j=1}^{N-1} \frac{1}{6} - \left(1 + \frac{0.25 h_2^2 / p_1^2 (6_1)^2}{1 + 0.5 h_2 / p_1 / 6_2} \right) (y_{\bar{x}_1})^2 + \frac{1}{6} \left(1 + \frac{0.25 h_1^2 \Omega^2}{h_2 (h_2 + 0.5 h_1 \Omega_1)} \right) (y_{\bar{x}_1})^2 \right]_{j=0} + \frac{1}{2} \sum_{i=1}^{N} \frac{1}{6} \left(1 + \frac{0.25 h_1^2 \Omega^2}{h_2 (h_2 + 0.5 h_2 \Omega_1)} \right) (y_{\bar{x}_1})^2 \right]_{j=M}$$
(3.42)

п. 3.8. Покажем, что оператор A обладает еще более сильным свойством чем положительность, а именно A — положительно определен. Для этого достаточно, чтобы выполнялось неравенство $O < G < G_O$: Действительно из (3.28) следует, что

$$(Ay,y) \geqslant \frac{h_1h_2}{60} \left\{ \sum_{i=1,j=1}^{N,M-1} (y_{\bar{x}_i})^2 + \sum_{j=1}^{N-1,M} (y_{\bar{x}_2})^2 + \sum_{i=1}^{N} (y_{\bar{x}_i})^2 + \sum_{j=0}^{N-1} (y_{\bar{x}_i})^2$$

Воспользуемоя тем, что $y_{0j} = c$ при j = c, ..., M и, следовательно для любого справедливо равенотво

$$y_{ij} = \sum_{\ell=\ell}^{i} y_{\bar{x},h}$$

откуда в силу неравенства Коши-Буняковокого получаем

$$y_{ij}^{2} \leq f \sum_{k=1}^{N} (1/\bar{x}_{k})^{2} h_{1}$$
 (3.44)

где \mathcal{J} - длина максимальной отороны прямоугольника ABCD. Умножая (3.44) на h_1h_2 и Туммируя обе части приходим к неравенотву

$$\sum_{i=1,j=1}^{N-1,M-1} y^{2}h_{1}h_{2} + \frac{1}{2} \sum_{i=1}^{N-1} (y^{2})_{j=0} + (y^{2})_{j=M} h_{1}h_{2} \leq \int_{i=1,j=1}^{N-1} (y_{\bar{x}_{i}})^{2}h_{1}h_{2} + \frac{f^{2}}{2} \sum_{i=1}^{N} [(y_{\bar{x}_{i}})_{j=0}^{2} + (y_{\bar{x}_{i}})_{j=M}^{2}]h_{1}h_{2}$$

Наконец, усиливая его добавлением в правую часть слагаемого $\int_{i=1,j=1}^{2} \frac{\chi_{i}^{2}}{(y_{\bar{x}_{2}})^{2}h_{1}h_{2}}$, получаем

$$\|y\|^2 \le h_1 h_2 \int_{i=1,j=1}^{2} \left(y_{\bar{x}_i} \right)^2 + \sum_{j=1,j=1}^{N-1} \left(y_{\bar{x}_j} \right)^2 + \sum_{j=1,j=1}^{N-1} \left(y_{\bar{x}_j} \right)^2 + \sum_{j=1,j=1}^{N-1} \left(y_{\bar{x}_j} \right)^2 + \left(y_{\bar{x}_j} \right)^2 \right)^2$$
 (3.45)

Сопоставляя (3.43) и (3.45) имеем

$$(A y, y) > 3'^2 ||y||^2$$
 (3.46)

где

Как следует из п.З.6 монотонизация схемы не меняет положительной определенности.

п. 3.9. Из положительной определенности сператора A следует сходимость решения y разностной задачи к решению u соответствующей дифференциальной задачи. В самом деле введем невязку z=y-u и рассмотрим

$$||Az|| = ||f - Au|| = || \downarrow ||$$

п. 3.10. Отметим, наконец, что как и в случае дифференциальной задачи разностный оператор самосопряжен только при $\Omega = 0$ В общем случае $\Omega \neq 0$ разностный оператор A так же как и дифференциальный A разбивается на положительный оператор A_C такой что $A_C \neq 0$ и оператор $A_C = A - A_C$ о нулевой "энергией" $A_C \neq 0$.

§ 4. Решение разностной задачи

п.4.І. В § 3 сформулированы разностная задача І и эквивалентная ей задача П. Представим оператор А задачи П в виде суммы двух операторов

$$A = A_1 + A_2$$

каждый из которых действует по одному направлению. Оператор A_1 во внутренних точках области ω_h для каждого $j=1,\ldots,M-1$ определяется выражением

$$A_1 y = -\left(\frac{1}{5} y_{\bar{x}_1}\right)_{x_1} + \left(p_2 y_{\bar{x}_1} + p_3 y_{x_1}\right), y_0 = y_N = 0 \quad (4.1)$$
 на границе AB

$$A_1 y = -\left(\frac{1}{5} y_{x_1}\right)_{x_1} + \frac{1}{h_2} \left[\frac{2}{5}\right]_{i_0} y_{x_1} + \left(\frac{2}{5}\right)_{i-10} y_{x_1}\right]$$
 (4.2)

и на граинце (Д $y_{x_1} = y_{x_1} = 0$

$$A_{1}y = -\left(\frac{1}{6} y_{\bar{x}_{1}}\right)_{x_{1}} - \frac{1}{h_{2}}\left(\frac{\Omega}{6}\right)_{iM-1}y_{x_{1}} + \left(\frac{\Omega}{6}\right)_{i-1M-1}y_{\bar{x}_{1}}\left(\frac{4.3}{6}\right)$$

$$y_{x_{1}} = y_{N} = 0$$

Оператор A_2 во внутренних точках области ω_i для каждого $i=1,\ldots,N-1$ определяется выражением

$$A_2 y = -\left(\pm y_{\bar{x}_2} \right) x_2 - \left(2 - y_{\bar{x}_2} + 9 + y_{x_2} \right)$$
Ha rpanne AB

$$A_2 y = -(9 io + \frac{2}{h_2 G^+}) y_{x_2}$$
 (4.5)

$$A_2 y = \left(\frac{1}{h_2 \sigma} - q_{in}\right) y_{\bar{x}_2}$$
 (4.6)

- п. 4.2. Рассматриваемая разитствая задача обладает рядом опецифических особенностей. Основные из них состоят в следующем:
- I. Величины \mathfrak{S} , \mathfrak{Q} , $\mathcal{V}_{\mathcal{X}}$, $\mathcal{V}_{\mathcal{Y}}$ могут быть сильно переменными по пространству.
- 2. При 🚅 🗲 0 уравнение схемы содержат первые разности. В силу этого разностный оператор А не является самосопряженным.
- 3. На горизонтальных участках границы AB и CD аппроксимировано условие "косой производной".
- 4. Величина 6 на некотором заранее неизвестнос участке об-
- 5. При $\Omega \neq 0$ операторы A_1 и A_2 не являются, вообще говоря, положительно определенными несмотря на то, что "энергия" их суммы (Ay,y), как показано в § 3 не зависит от величины Ω и положительна.
- п.4.3. Для решения разностной краевой задачи П использовапись следующие три различные итерационные схемы.
 - а) локально-одномерная скема,
 - б) продольно-поперечная схема (ППС),
 - в) скема Дугласа-Рекфорда.

Остановимся более подробно на каждой из этих схем.

Лскально-одномерная схема эффективно применяется для решения многомерных нестационарных задач I6 . Всвязи с этим естественно рассмотреть итерационный процесс, основанный на этой схеме

$$(E + T_K A_1) \overline{v} = V_K + T_K f_1 \qquad (4.7)$$

$$(E + T_K A_2) U_{K+1} = \overline{v} + T_K f_2 \qquad , \quad f = f_1 + f_2 \qquad (4.8)$$

Пусть γ -точное решение стационарной разностной задачи

$$Ay = f$$
, $A_1 + A_2 = A$

Для невязки

олодует, что

$$(E + T_K A_1) \overline{Z}_K = Z_K + T_K \Psi_1 \tag{4.9}$$

$$(E+T_KA_2) \ Z_{K+1} = \overline{Z}_K + C_K Y. \tag{4.10}$$

Вдесь $\psi_1 = f_1 - A_1 y$, $\psi_2 = f_2 - A_2 y$ — погрешность аппроксимации каждым из уравнений (4.7), (4.8) соответствующих дифференциальных уравнений. Исключая Ξ_K и пользуясь свойством суммарной аппароксимации $\psi_1 + \psi_2$, получаем

вои суммарной аппароксимации
$$Y_1 + Y_2$$
 , получаем $Z_{k+1} = S_1 S_2 Z_k - T_k^2 S_1 S_2 \widetilde{Y}$, $S_1 = (E + T_K A_1)^{-1}$, $S_2 = (E + T_K A_2)^{-1}$, $\widetilde{Y} = A_1 Y_2$

или, вводя $S_K = S_1 S_2$

Если А1 и А2 положительно определены, т.е.

$$A_1 \geqslant \delta_1 E$$
, $A_2 \geqslant \delta_2 E$, $\delta_1 > 0$, $\delta_2 > 0$, 20

$$||S_{\kappa}|| \le ||S_1|| ||S_2|| \le \frac{1}{(1+T_{\kappa}S_1)(1+T_{\kappa}S_2)} = Q_{\kappa} < 1$$

HPM ADDIES $T_{\kappa} \ge T_0 > 0$.

Последовательно используя рекуррентное соотношение

получаем оценку

$$\|\mathbf{z}_{k}\| \leq \delta_{k} \|\mathbf{z}_{o}\| + \delta_{k} \tau_{o}^{2} \|\widetilde{\psi}\| + \delta_{k-1} \tau_{i}^{2} \|\widetilde{\psi}\| + \dots + \delta_{j} \tau_{k-1}^{2} \|\widetilde{\psi}\|$$

$$\delta_k = q_k \, q_{k-1} \dots q_1$$

Ограничимся случаем $T_k = T$, тогда

$$\|z_{k}\| \leq q^{k} \|z_{0}\| + \tau^{2} \|\widetilde{\psi}\| \frac{q}{1-q}$$

$$q = \frac{1}{(1+\tau\delta_{1})(1+\tau\delta_{2})} < 1$$
(4.10)

Переходя в (4.10) к пределу при $k \rightarrow \infty$ имеем

$$\lim_{k \to \infty} \|z_k\| \leq \tau^2 \|\widetilde{\psi}\| \frac{q}{1-q} , q < 1$$

Учитывая, что $\frac{q}{1-q} \le \frac{1}{\tau(s_1+s_2)}$, приходим к выво-

$$\|\nabla - y\| \leq \frac{\tau \|\psi\|}{\delta_1 + \delta_2} \sim O(\tau) \qquad (4.11)$$

ГДӨ

Таким образом показано, что для положительно определенных операторов и итерационный процесс (4.7), (4.8) сходится и его предел $\mathcal U$ отличен на величину $\sim \mathcal O(\tau)$ от точного решения

у исходной стационарной задачи. Оценим число итераций, необходи мое для достижения точного решения \mathcal{Y} с заданной точностью \mathcal{E} нак видно из (4.10) оценка погрешности \mathcal{K} —той итерации $\mathcal{V}_{\mathcal{K}}$ скам видно из двух членов-один из них убывает с ростом \mathcal{K} , а друго постоянен и равен $\mathcal{T}^2 \|\widetilde{\mathcal{V}}\|_{1-q}^2 \leq \frac{q}{8_1+8_2}$. Отсюда следует, что необходимым условием достижение точности \mathcal{E} является требование $\mathcal{T}^{\infty}\mathcal{E}\left(\frac{\|\widetilde{\mathcal{V}}\|}{8_1+8_2}\right)^{-1}\sim\mathcal{O}(\mathcal{E})$. Зафиксировав такое получаем число итернций \mathcal{V} , необходимое для того, чтобы первое слагаемое в (4.10) стало меньше $0.5 \mathcal{E} \|\mathcal{F}_{\circ}\|$

$$V \geqslant \frac{\|\widetilde{4}\|}{(5_1 + \delta_2)^2} \quad \frac{1}{\varepsilon} \ln \frac{1}{\varepsilon}$$

Так как аппрокоммация дифференциальной задачи разностной $O(h^2)$, то естественно потребовать и $\mathcal{E} = O(h^2)$. Таким образом, для достижения требуемой точности \mathcal{E} достаточно совершить $\mathcal{V} = O(E)$ итерации с постоянным $\mathcal{T} \sim O(E)$.

Соответствующий объем вычислительной работы по порядку веимчины такой же, как и в метеде простой итерации [3].

Вначительное сокращение числа итерации может быть достигнуто если положить в основу итерационного процесоа продольно поперечную охему [17].

При постоянных коэффициентах уравнения эта схема является предпочтительное всех остальных здесь рассматриваемых и обладает наибольшей скоростью сходимости. В работе [18] получена оценка скорости сходимости ППС в предположении положительной определенности A_1 и A_2 . Показано, что в этом случае для уменьшения начальной погрешности в $1/\mathcal{E}$ раз (\mathcal{E} — эаданная точность) достаточно сделать

$$V \ge \ln \frac{1}{\varepsilon} \ln \frac{1-\sqrt{\varrho}}{1+\sqrt{\varrho}}$$

итерации. (Здесь $\gamma = \delta / \Delta$, $\delta = min (\delta_1, \delta_2)$, $\Delta = max (\Delta_1, \Delta_2)$ $\delta_2 \le \frac{(A_2 y, y)}{\|y\|^2} \le \Delta_2$, Δ_2 , $\delta_3 > 0$, d = 1, 2.

при

В частности, для задачи Дирихло при
$$\varepsilon = O(h^2)$$

$$v = O\left(\frac{1}{h} \ln \frac{1}{h}\right)$$

Topt = 1

п.4.4. Отметим, что для рассматриваемых задач операторы A_1 и A_2 могут оказаться не знакоопределенными. Тем самым вопрос о сходимости итерационного процесса остается открытым. Наряду с этим оценки границ операторов A_1 и A_2 и оптимального итерационного параметра также вырастают в самостоятельную проблему. В связи с этим на практике часто приходится прибегать к сравнению ризличных алгоритмов о помощью методических расчетов. Ниже обсуждаются результаты таких расчетов, позволяющие сделать некоторые сравнительные выводы о сходимости итерационных процессов. Опробованы три схемы переменных направлений: локально-одно-

мериая схема (4.7), (4.8), продольно-поперечная схема (4.12), (4.13).и схема Дугласа-Рекфорда (СДР) [19]

$$(E + \tau_k A_i) \overline{\mathcal{V}}_{k+1} = (E - \tau_k A_2) \mathcal{V}_k + \mathcal{I}_1 \qquad (4.14)$$

Экспериментальное сравнение dilC (4.12), (4.13) и СДР (4.14),(4.15) было проведено в случае первой краевой задачи для неоднородного уравнения

 $\Delta u + \frac{\partial P}{\partial x} \frac{\partial u}{\partial y} - \frac{\partial P}{\partial y} \frac{\partial u}{\partial x} = f$ (4.16)

Провая часть 🕴 подбиралась так; чтобы уравнению (4.16) удовлетворяла функция

$$u = \mu \propto (1-x) y(1-y)$$
 (4.17)

Численное решение (4.16) было проведено для двух значений P(3/1):

1.
$$p(x,y) = 0$$
, $\mu = 4$
2. $p(x,y) = a \sin x \cdot \sin x y + 6$
 $a = 5.5$, $b = 6$, $x = 5\pi$, $\mu = 16$

Таким образом, в І-ом случае решалось уравнение Пуассона, а во втором в эллиптическом операторе присутствовани первые производ ные с сильнопеременными коэффициентами. Квадратная область со стороной равной единице была покрыта квадратной сеткой с шагом $\hbar = 0.05$ (число узлов N = 400). Описанные ниже расчеты проводились при фиксированном 🕹 = 0,001 и различных значениях итерационного параметра 🖚 , который не зависел от номера итерации. Характеристикой качества метода служит зависимость числа итераций

от 🛪 . На фиг. ба показана зависимость 🗸 🦝 для ППС

(I кривая), СДР (2 кривая) и ЛОС (3 кривая) при $\phi(x,y) = 0$ и M = 4. Из рисупка видно, что наиболее высским качеством обладает ППС, график которой при всех 🤏 🥏 расположен ниже, чем для СДР. Для ЛОС кривая имеет вертикальную ассимптоту при $\mathcal{C} = \mathcal{C}_{\bigstar}$: $7 > 7 \times$ погрешность ЛОС (см. п. 4.3 формула 4.II) не повволяет достигнуть ваданной точности. Счевидно, что с уменьшением \mathcal{E} , значение $\mathcal{C}_{f imes}$ убывает. Можно видеть также, что для ИПС и СДР число итераций ∨ при С ≤ 0.05 резко убывает с ростом $oldsymbol{ au}$, а далее изменение $oldsymbol{\mathcal{V}}$ с ростом $oldsymbol{ au}$ происходит медленно. Поэтому подбор оптимального значения Стребует большой точности. Во втором случае (несамосопряженный оператор) результат представлен на фиг. 6(б) (І кривая - ППС, 2 кривая - СДР). Прежде всего следует отметить появление критического $\tau = \tau_*$, начиная с которого итерации расходятся. Появление Сж для ППС может быть связано только с потерей знакоопределенности операторов А. А. при $\phi(x,y)\neq 0$ (cm. II. 4.3).

Другой особенностью является то, что минимальное чиоло итераций достигается в СДР хотя при малых \mathcal{T} более выгодной является пПС. Это происходит за счет того, что \mathcal{T} для СДР оказывается больше чем для ППС. Кроме того, для СДР существует "плато" слабото изменения $\mathcal{V}(\mathcal{T})$, что облегчает выбор величины \mathcal{T} . Поэтому для задач с незнакоопределенными операторами \mathcal{A}_1 , \mathcal{A}_2 наиболее эффективным методом при постоянном \mathcal{T} оказывается схема Дугласа-Рекфорда.

п. 4.5. Отметим, что коэффициенты S_ℓ в (4.30) для рассматриваемых задач могут сильно меняться ($0 \le S_\ell \le \infty$),причем $S_\ell = \infty$ на заранее неизвестном участке. В этом случае при приме-

нении метода прогонки [5] возникает потеря, точности, которая усугубляется дальнейшим дифференцированием решения для вычисления потоков Wik. Использование потокового варианта метода прогонки [20], [21] позволяет обойти эти трудности.

§ 5. Примеры численного решения задач

В настоящем параграфе приведены результаты численного решения некоторых характерных задач. Описание результатов не претендует на полноту и носит иллюстративный характер.

Проблема расчета электрического поля и компонент электрическото тока в канале при движении проводящей жидкости в магнитном поле занимает значительное место в теоретических исследованиях, связанных с физическими и прикладными вопросами [2]. В частности,
большой интерес представляет изучение различного рода двумерных эффектов в краевых зонах магнитного поля или вблизи электродов. В настоящее время имеется ряд результатов аналитических исследований в
этой области [22]. Однако возможности аналитического аппарата ограничены даже при весьма упрощенном подходе рассмотрения задач с постоянными заданными параметрами потока проводящей жидкости. В обпемалучае переменных коэффициентов в уравнении (3.1) численное режение задачи является практически единственно доступным.

п. 5.1. Рассмотрим течение электропроводной среды с поотоянной скоростью

$$V_x = 1$$
, $V_y = 0$

и постоянной электропроводностью 6 = 1

Течение происходит в плоском канале — $\infty \le \infty < \infty$, $0 \le y \le 1$ с параллельными стенками (см. фиг. 7), которые являются идеальным диэлектриком всюду, за исключением участков, занятых сплошными идеальными электродами

$$-0.5 \leqslant x \leqslant 0.5$$

Между электродами поддерживается заданная разность потенциалов

U=0.7. Магнитное поле постоянно в электродной зоне и равно H=I, а вне ее спадает по экспоненте с показателем 2 (см. фиг. 7). Параметр Холла постоянен и равен Q=3.

Результаты численного решения этой задачи позволяет построить, например, распределение электрических токов, представленное на фиг. 7, а также найти такие знергетические интегральные характери-отики, как мощность работы плазыы, электрический к.п.д. и другие. В [23] приведены результаты серии аналогичных расчетов, имеющих целью выяснение влияния распределения по пространству магнитного поля, взаимного расположения магнитного поля и электродов, параметра Холла и др. на картину распределения тока и интегральные энергетические характеристики МГД-каналов.

л. 5.2. Значительный интерес с общефизической и прикладной точек эрения представляет собой явление ионизационной неустойчиво-сти в низкотемпературной, замагниченной плазме [24]. При определенных предположениях принципиальное математическое описание этого явления сводится к решению системы уравнений [25]

$$\frac{\partial^{\infty}(\frac{e}{1})}{\partial \phi} + \frac{\partial^{\infty}(\frac{e}{1})}{\partial \phi} + \frac{\partial^{\infty}(\frac{e}{1})}{\partial$$

$$\frac{\partial n}{\partial t} = \frac{1}{6} \left[\frac{\partial \psi}{\partial x} \right]^2 + \left(\frac{\partial \psi}{\partial y} \right)^2 - nTV$$
 (5.2)

где N - концентрация свободных электронов в единице объема, 6 = n/v . В математическом отношении характерной особенностью является сильная зависимость V от N , что приводит к сильномениющимся по пространству коэффициентам в уравнении (5.1). Численное решение задачи позволило получить качественную картину и количест-

венные характеристики процесса зарождения и развития страт, наблюдаемых в эксперименте. На фиг. 8 представлены линии уровня n=1электронной концентрации в момент интенсивного развития страт при значении параметра Холла \mathcal{Q} = IO. Область n>1. (страта) заштрихована. Векторное поле плотности электрических токов показано стрелками. Отчетливо видна тенденция жгутования электрического тока вдоль сильно ионизованной страты. Геометрия задачи ясна из рисунка. Граница области АВСД суть идеальный диэлектрик за исключением идеально секционированных электродов ав и са , на которых задана постоянная плотность нормального электрического тока $\int_{\mathcal{A}} = -1$ t = 0В начальный момент времени концентрация электронов п была распределена равномерно n=1 . Связь температуры электронов задавалась по формуле Саха. Учитывались пипват столкновения электронов с ионами и нейтральными атомами. При дальнейшем развитии процесса раопределение концентрации 🖊 и влектрических токов перестает носить регулярный характер и напоминает турбулентную картину, наблюдаемую в эксперименте.

Более обстоятельное описание результатов численного решения аналогичных задач содержится в [26].

п. 5.3. Приведем в качестве третьего примера результат численного решения двумерной задачи о входе сверхзвукового потока ироводящего газа в магнитное поле. Явление описывается системой уравнений
магнитной газодинамики. Интересует стационарное решение задачи, которое достигается интегрированием нестационарной системы уравнений
методом установления. Остановимся на следующей ностановке задачи.
меется канал постоянного сечения d=1. Магнитное поле распределено по пространству следующим образом

$$H = \begin{cases} 1, & x > 0 \\ e^{15x}, & x < 0 \end{cases}$$

Область решения задачи ограничим сечениями $\mathcal{X} = {}^{\pm}I$,5 (см. фиг.9). На входе в канал (сечение $\mathcal{X} = -I$,5) задан сверхзвуковой поток газа с параметрами: плотность $g = g_o$ температура $T = T_o$ скорость $U = U_o$ давление $p = p_o$, постоянная адиабаты y = I.I2. Проводимость о определяется концентрацией электронов цезиевой присадки посчитанной по формуле Саха $6 = 6_o \left(\frac{T}{T_o}\right)^{\frac{1}{2}} \left(\frac{g}{g_o}\right)^{-\frac{1}{2}} = \frac{I_{cs}}{2} \left(\frac{1}{T_o} - \frac{1}{T_o}\right)$

Основными безразмерными параметрами, характеризующими течение, явияются число Маха M и параметр гидромагнитного взаимодействия R_M .
В сечении $\mathfrak{X} = -1.5$ они имеют значения M = 2.92, $R_M = 0.5$. Установившиеся по времени значения распределенных по пространству параметров приведены на фиг.9. Указано отношение значения параметра на линии уровня к значению соответствующего параметра во входном сечении.
Более подробно см. [27]. На фиг.9 показан токовый вихрь, возникарщий при входе проводящей среды в магнитное поле. Существование такого вихря известно из решения этой задачи при заданном движении среды, т.е. в приближении $R_M << 1$

Из фиг.9, опуская детальную картину, видно, что вход сверхавукового потока проводящего газа в магнитное поле при $R_{M}=0.5$ сопровождается его значительным торможением и сжатием к оси. В свою очередь изменение параметров потока приводит к резкому затуханию компоненты тока в воне постоянного магнитного поля при $\infty > 0$.

В заключение авторы приносят благодарность И.В. Фрязинову за плодотворные обсуждения, а также Т.А. Гороушиной, Е.Е. Мышецкой, В.А. Равинской за создание програмы и проведение расчетов.

Литература

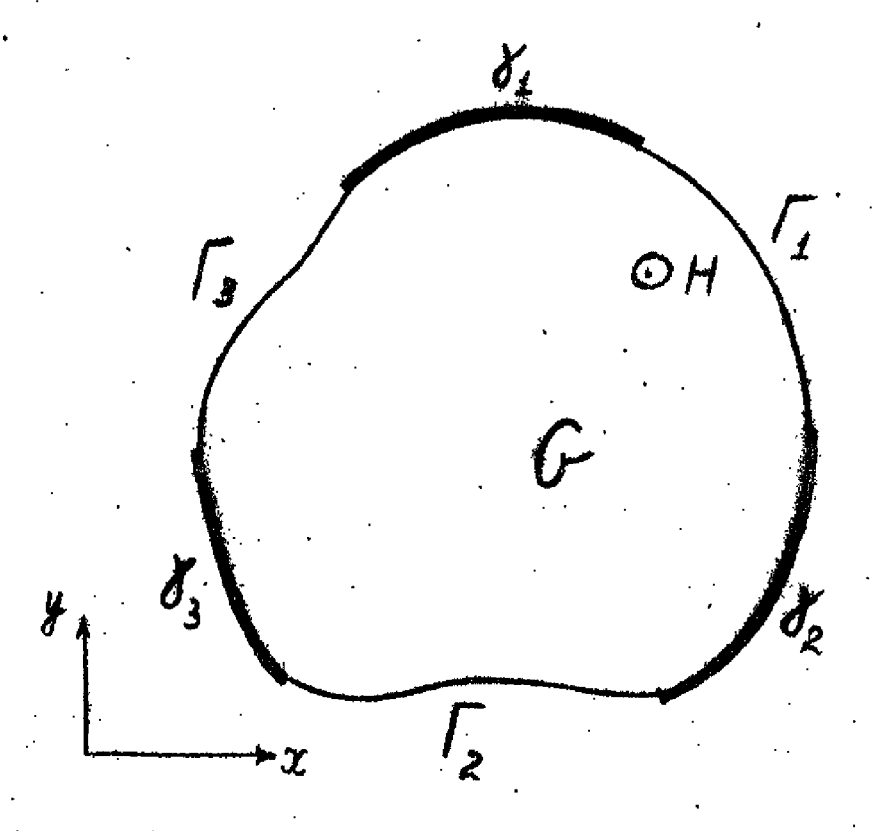
- I. Л.Д. Ландау, Е.М. Лифшиц. Электродинамика сплошных сред.
- 2. Саттон Шерман. Эсисвы технической магнитной газодинамики.
- 3. А.Н. Тихонов, Л.А. Самарский. Уравнения математической физики. Москва. 1968.
- 4. Ф.М. Морс, Г. Фешбах. Методы теоретической физики. ИЛ. Москва, 1958.
- 5. Векуа П.Н. Граничная задача с косой производной для уравнения эллиптического типа. ДАН, 1953, 92, № 6.
- 6. Векуа П.Н. Системы дифференциальных уравнений первого порядка эллиптического типа и граничные задачи с применением и теории оболочек. Мат. сборник, 31(73), 2, 1952.
- 7. Векуа П.Н. Новые методы решения эллиптических уравнений. Гостехиздат. 1948.
- 8. Randwert, Eigenwert- Probleme aus die Theorie die elastischen Platten. Math. Ann. Bd 98,1928
- 9. Курант Р., Гильберт Д. Методы математической физики, гл. П. Гостехиздат, 1945, спец.гл. УП.
- Михлин С.Г. Курс математической физики. Изд-во Наука,
 Москва, 1968.
- Клабухова Л.С. Приближенный метод решения задачи Гильберта
 и Пуанкаре. Вычислительная математика, сб. 3, 1958.
- 12. Волков Е.А. О методе сеток для задачи с косой и нормальной производной. Журн.вычисл.мат.и мат.физ., т. I, № 4. 1961.

- ІЗ. Самарский А.А. Однородные разностные схемы для нелинейных уравнений параболического типа. Журн.вычисл.матем. и матем. физ., т. 2, № 1, 1962.
- 14. Самарский А.А. О монотонных разностных схемах для эллиптических и параболических уравнений в случае несамосопряженного эллиптического оператора. Журн.вычисл.мат.и матем.физ., т. 5, № 3, 1965.
- 15. С.Л. Соболев. Некоторые применения функционального анализа в математической физике. Изд-во СО АН СССР. 1962.
- 16. А.А. Самарский. Об одном экономичном разностном методе решения параболического уравнения в произвольной области. Журн.вычисл.матем.и матем.фив., 2, № 5, 1965.
- 17. D.W. Peaceman, H.H. Rachford The equation? Solution of parabolic and elliptic equation. J. Soc. Industr. Appl. Math. 1953, N1
- 18. А.А. Самарский. Некоторые вопросы теории разностных схем.
 Журн.вычисл.матем.и матем.физ., 1965, 5, № 4.
- 19. J. Douglas, H. H. Rachford. On numerical solution of heat conduction problems in two and three space variables, Trans. Amer. Soc. 1956, NZ.
- 20. Л.М. Дегтярев, А.П. Фаворский. Потоковый вариант метода прогонки. Журн.вычисл.матем.и матем.физ., 1968, 8, № 3.
- 21. Л.М. Дегтярев, А.П. Фаворский. Потоковый вариант метода прогонки для разностных задач с сильно меняющимися коэффициентами. Турн.вычисл.матем.и матем.физ., 1969, 9, № 1.

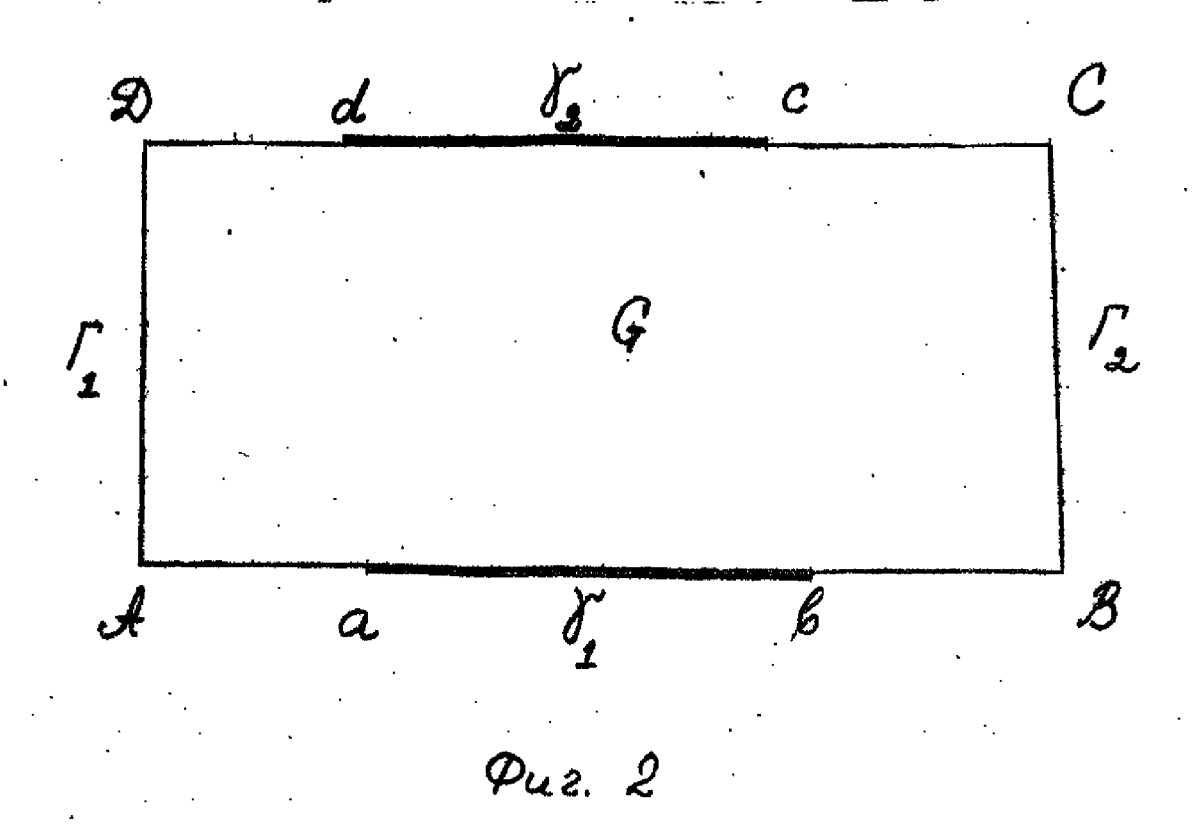
- 22. Дж. Шерклиф. Теория электромагнитного измерения расхода. Дополнение. Изд-во Мир. 1965.
- 23. А.В. Губарев, Л.М. Дегтярев, А.П. Фаворский. Численное исследование пространственного распределения плотности электрического тока в МГД-каналах. Отчет ИПМ АН СССР и ИАЭ имения. И.В. Курчатова. 1969.
- 24. Е.П. Велихов, А.М. Дыхне, И.Д. Доклад на УП Международной конферсиции по ионизационным явлениям в газах. Белград. 1965.
- 25. А.А. Веденов, Е.П. Велихов.

Proceedings of a Symp. of MHD, Salelwig, 1966.

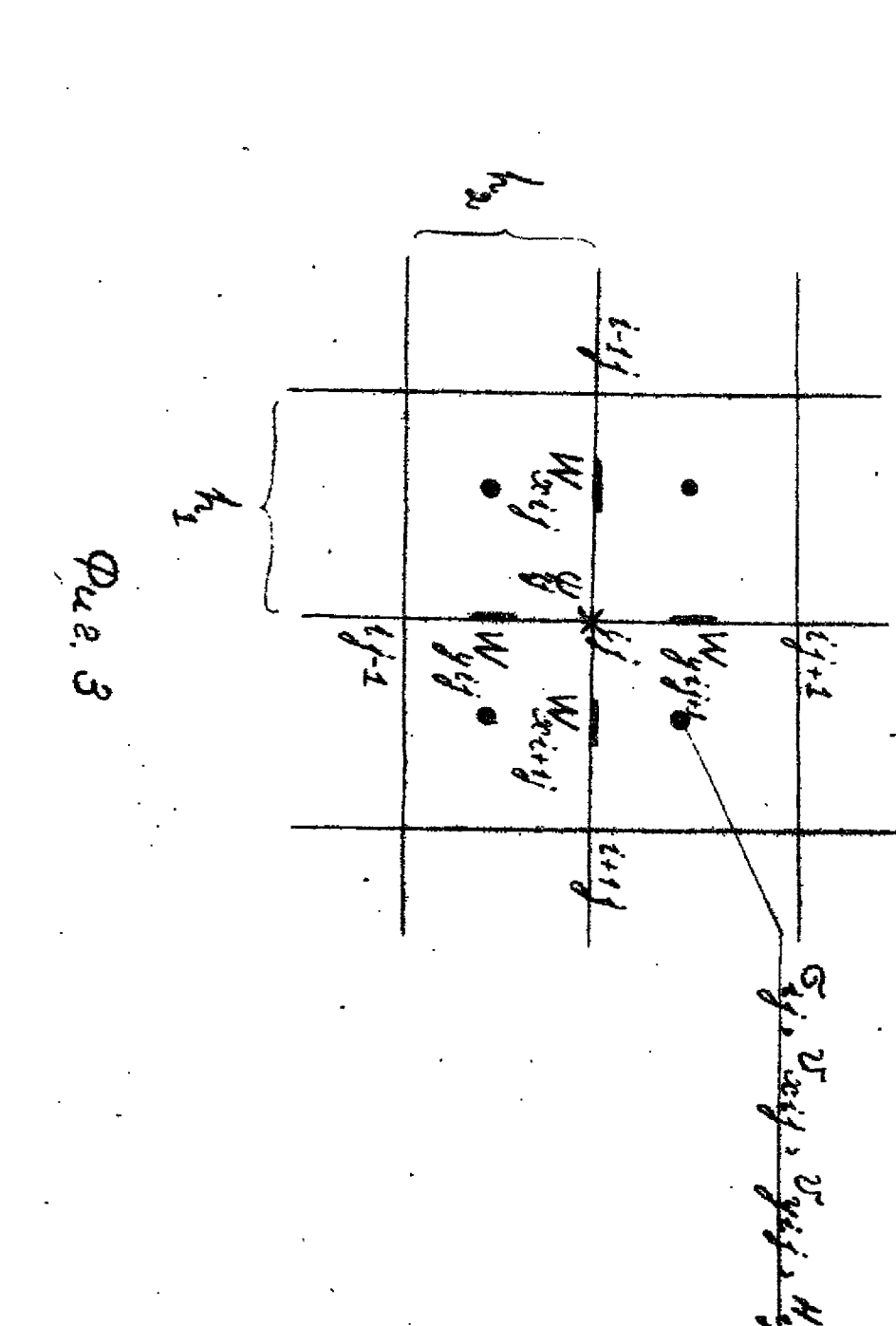
- 26. Е.П. Велихов, Л.М. Дегтярев, А.А. Самарский, А.П. Фаворский. ДАН, 1969, 184, № 3.
- 27. А.В. Губарев, Л.М. Дегтярев, А.А. Самарский, А.П. Фаворский. Некоторые двумерные эффекты сверхэвукового течения проводящего газа в неоднородном магнитном поле. Препринт ИПМ АН СССР. 1969.

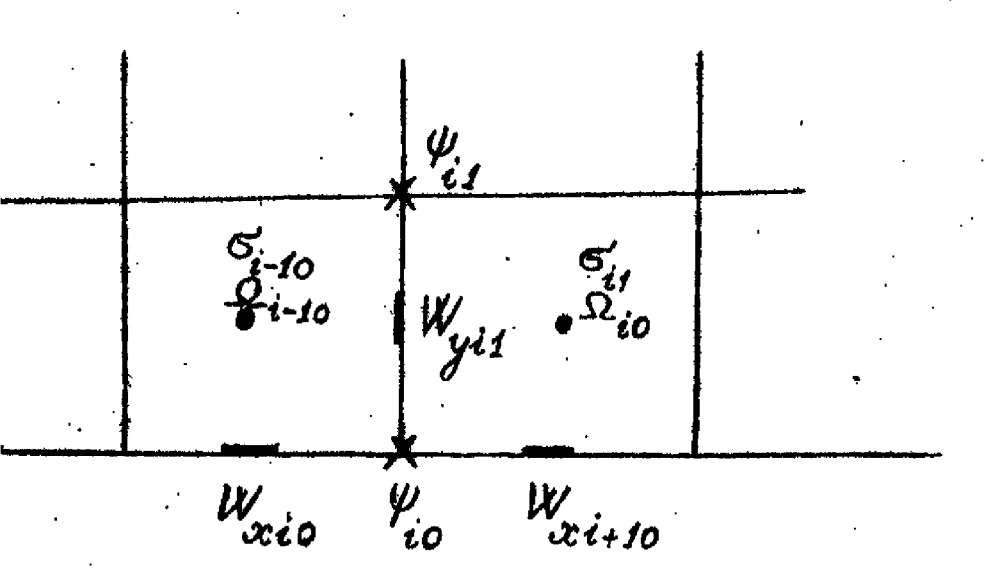


Puz. 1

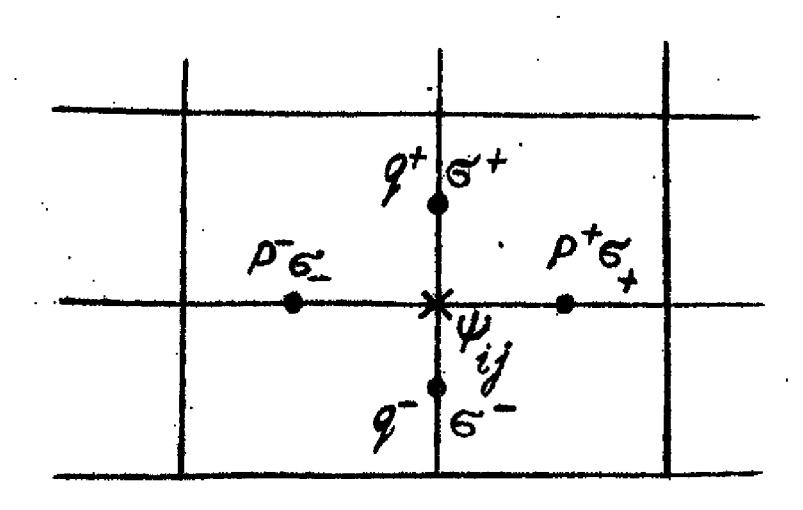




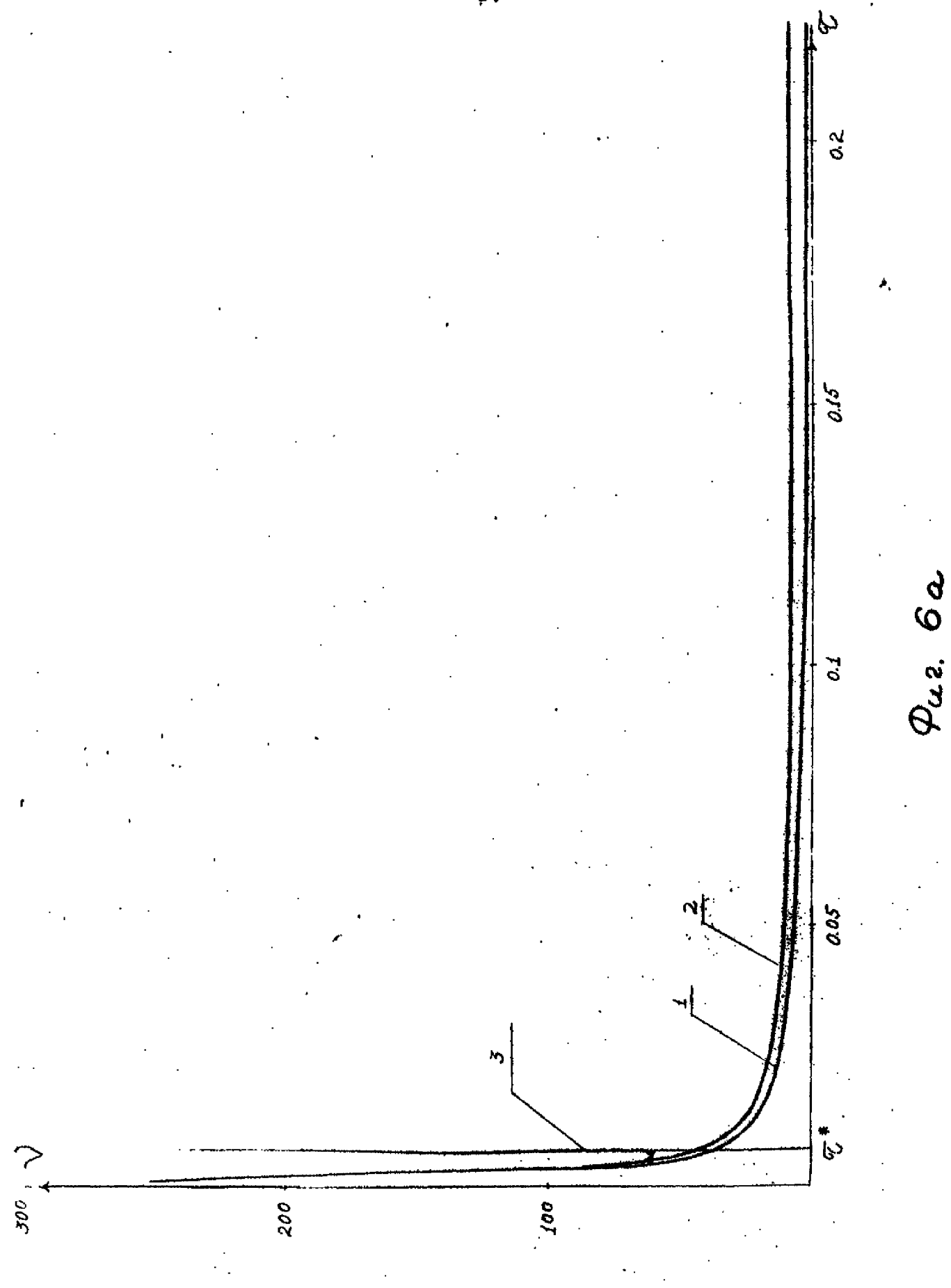


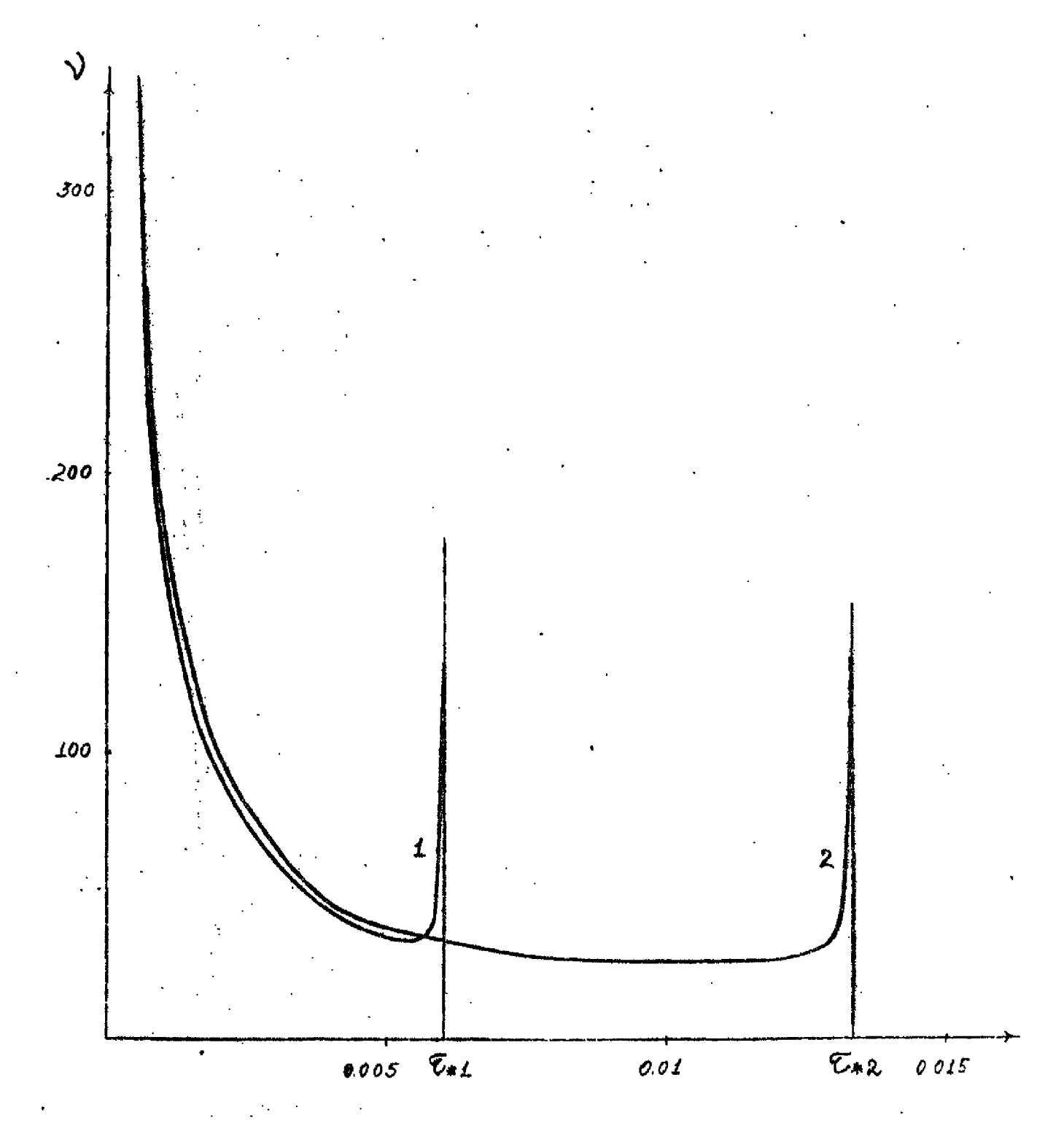


Pu2. 4



Pue. 5





Φω2. 68

